

BOLETÍN CLIMATOLÓGICO

Anual 2025

BOLETÍN CLIMATOLÓGICO

BOLETÍN DE VIGILANCIA DEL CLIMA EN LA ARGENTINA

VOLUMEN XXXVII - ANUAL 2025

Editoras:

María de los Milagros Skansi
Norma Garay


Colaboradores:


Svetlana Cherkasova
Myrian Díaz
José Luis Stella
Hernán Veiga


La fuente de información utilizada en los análisis presentados en este Boletín es el mensaje SYNOP elaborado por las estaciones sinópticas de la Red Nacional de Estaciones Meteorológicas. De ser necesario, esta información es complementada con los mensajes CLIMAT confeccionados por las estaciones meteorológicas que integran la red de observación del mismo nombre.

También son utilizados datos proporcionados por la Autoridad Interjurisdiccional de las Cuencas de los Ríos Limay, Neuquén y Negro (AIC), Comisión Regional del Río Bermejo (COREBE), el Instituto Nacional de Tecnología Agropecuaria (INTA) y distintas instituciones de los gobiernos de la provincias de Tucumán, Formosa, Santa Fe, Córdoba, San Luis, Mendoza y La Pampa. Como no se cuenta con valores de referencia para todas las estaciones existe más información de datos observados que desvíos de los mismos. Estos datos se incluyen para completar el análisis climático.

 (54-11) 5167-6767 Interno 18743

 clima@smn.gob.ar

 www.smn.gob.ar/boletines/boletin-climatológico-mes-año

 Servicio Meteorológico Nacional
Av. Dorrego 4019 (C)
Ciudad Autónoma de Buenos Aires- Argentina

PRINCIPALES ANOMALÍAS Y EVENTOS EXTREMOS

CARACTERÍSTICAS CLIMÁTICAS

1 - PRECIPITACIÓN

1.1 - Precipitación media	5
1.2 - Principales singularidades estacionales	8
1.3 - Principales singularidades mensuales y diarias	10
1.4 - Frecuencia de días con lluvia	14
1.5 - Frecuencia de días con tormenta	17
1.6 - Frecuencia de días con nieve.....	18
1.7 - Frecuencia de días con granizo	19
1.8 - Frecuencia de días con niebla y neblina	20

2 - TEMPERATURA

2.1 - Temperatura media	22
2.2- Temperatura máxima	24
2.3 - Temperatura mínima media	26
2.4- Principales eventos.....	28
2.5 - Frecuencia de días con cielo cubierto	30
2.6 - Frecuencia de días con helada.....	32

3 - REGIÓN SUBANTÁRTICA Y ANTÁRTICA ADYACENTE

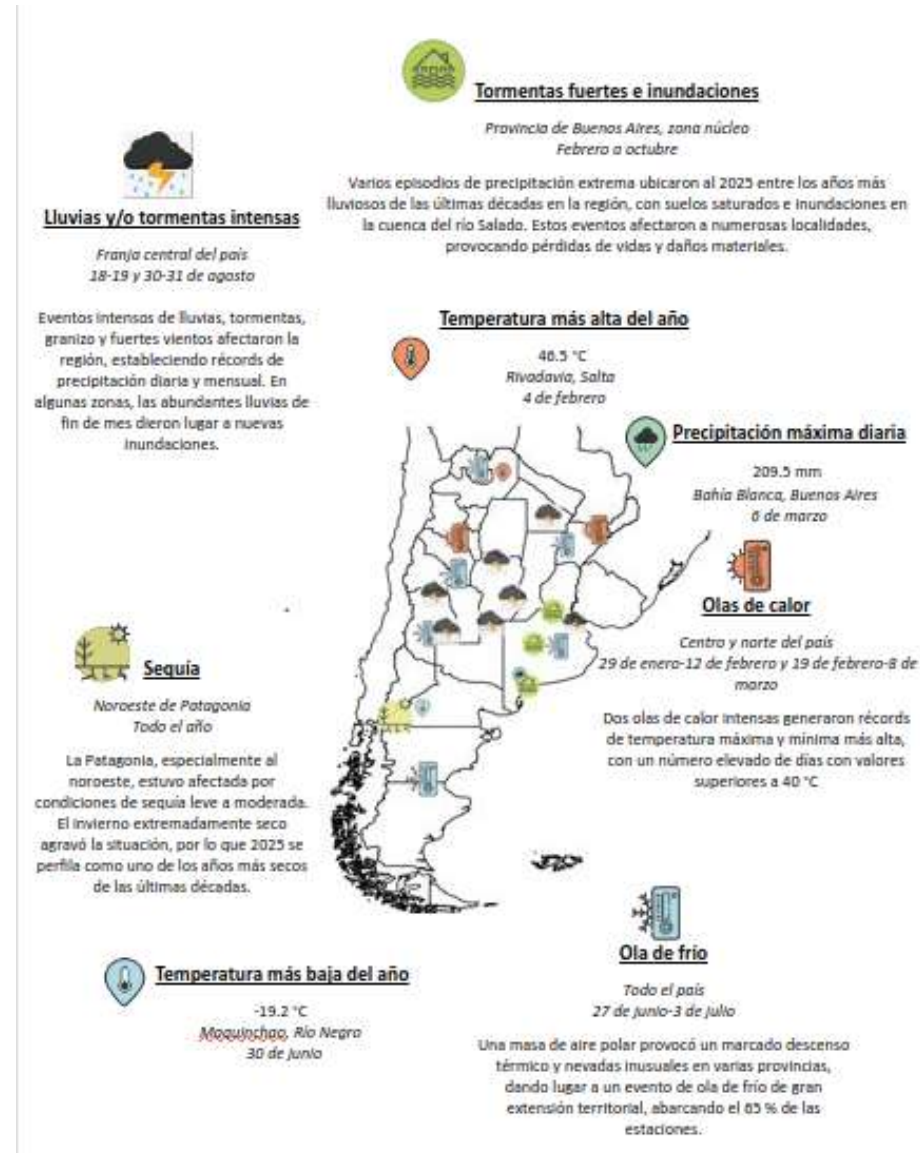
3.1 - Temperatura	33
3.2 - Principales registros de temperatura	36

Abreviaturas y unidades

Red de estaciones

PRINCIPALES ANOMALÍAS Y EVENTOS EXTREMOS

En el siguiente esquema se presentan, en forma simplificada, las principales anomalías climáticas y eventos significativos que se registraron en el país durante el año 2025.



CARACTERÍSTICAS CLIMÁTICAS

1 - PRECIPITACIÓN

1.1 - Precipitación media

Las características del campo anual de precipitación pueden apreciarse en la Figura 1. En ella se observan precipitaciones superiores a 1000 mm (isolínea resaltada en amarillo) en el norte de Salta, centro de Tucumán, centro y este de Formosa, este de Chaco, Litoral, centro y este de Córdoba, gran parte de Santa Fe y Buenos Aires y área cordillerana de Neuquén. Entre los mayores totales se mencionan los que tuvieron lugar en:

- **NOA: Salta** (San José con 1548.8 mm, Balapuca con 1161.4 mm, San Telmo con 1005.9 mm, Orán con 866 mm, y Tartagal con 820.4 mm) y **Tucumán** (Alpachiri con 1514.4 mm, Lules con 1400.6 mm, Caspichango con 1247.5 mm, Pueblo Viejo con 1144.0 mm, El Colmenar con 917 mm y Tucumán con 768.2 mm);
- **Formosa:** Laguna Blanca con 1477.9 mm, San Francisco de Laishí con 1381.7 mm, El Espinillo con 1381.1 mm, y Formosa con 1209.4 mm;
- **Chaco:** Resistencia con 1588.3 mm, Pampa Almirón con 1486.1 mm, y Presidencia Roque Sáenz Peña con 1158.8 mm;
- **Litoral: Misiones** (Posadas con 2150.6 mm, Iguazú con 2039.0 mm y Bernardo de Irigoyen con 1871.4 mm), **Corrientes** (Ituzaingó con 2447.5 mm, Corrientes con 1951.8 mm, Mercedes con 1696.8 mm, Paso de los Libres con 1520.1 mm y Monte Caseros con 1410.5) y **Entre Ríos** (Gualeguaychú con 1388.7, Concordia con 1313.6 mm y Paraná con 1057.7 mm);
- **Santa Fe:** Rosario con 1422.5 mm, Montes de Oca con 1342.4 mm, Reconquista con 1127.7 mm, y Sauce Viejo con 1050 mm;
- **Córdoba:** Bell Ville con 1266.2 mm, Laboulaye con 1138.1 mm, y Marcos Juárez con 1116.4 mm;
- **Buenos Aires:** Nueve de Julio con 1654.1 mm, Junín con 1586.7 mm, Buenos Aires Observatorio con 1520 mm, Bolívar con 1475.5 mm, Trenque Lauquen con 1391.2 mm, Pehuajó con 1282.3 mm y La Plata con 1181.3 mm;
- **sudoeste de Neuquén (Zona del Comahue):** Cerro Mirador con 3583.7 mm, El Rincón con 2237.9 mm, Arroyo Malalco con 2187.9 mm, Cerro Huicuífa con 2162 mm, Cerro El Mocho con 1677.9 mm y Lago espejo Chico con 1592.7 mm.

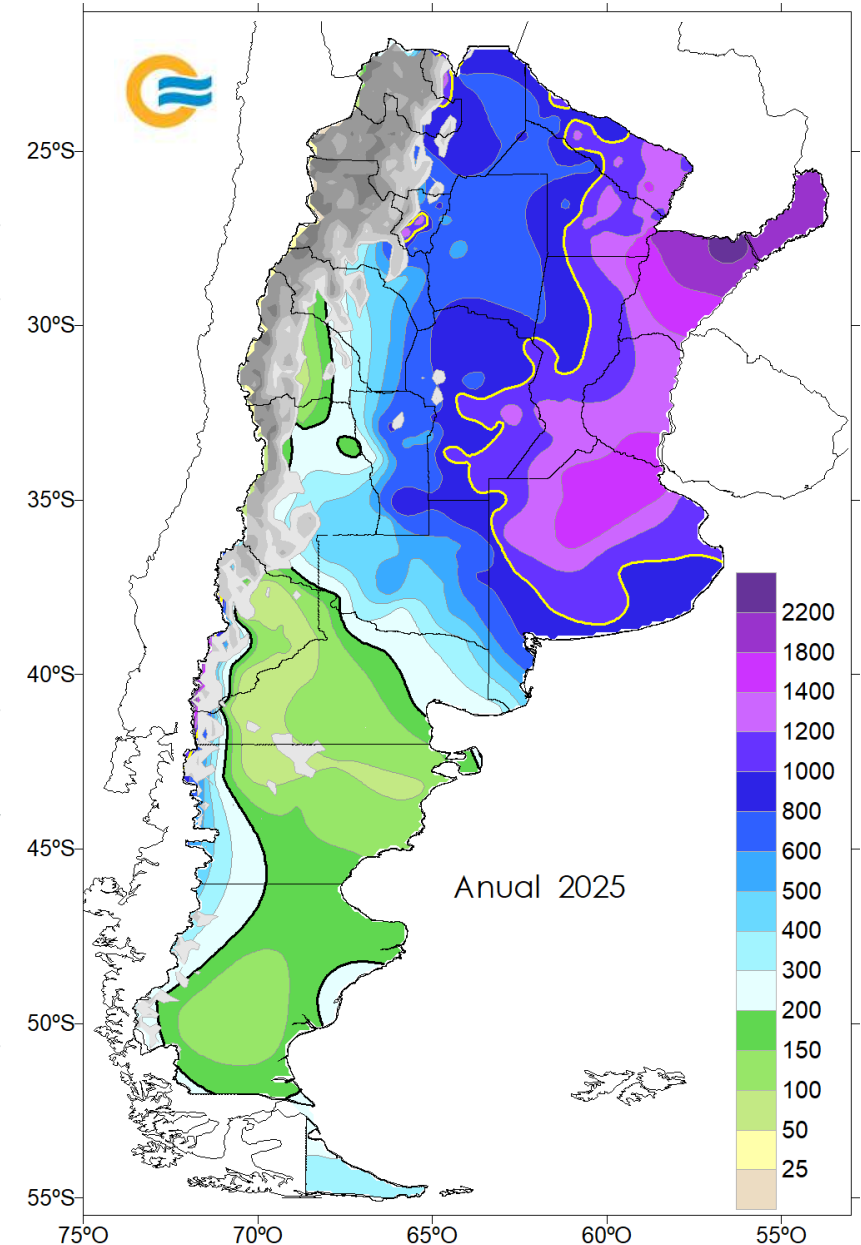


FIG. 1 -Totales de precipitación (mm)

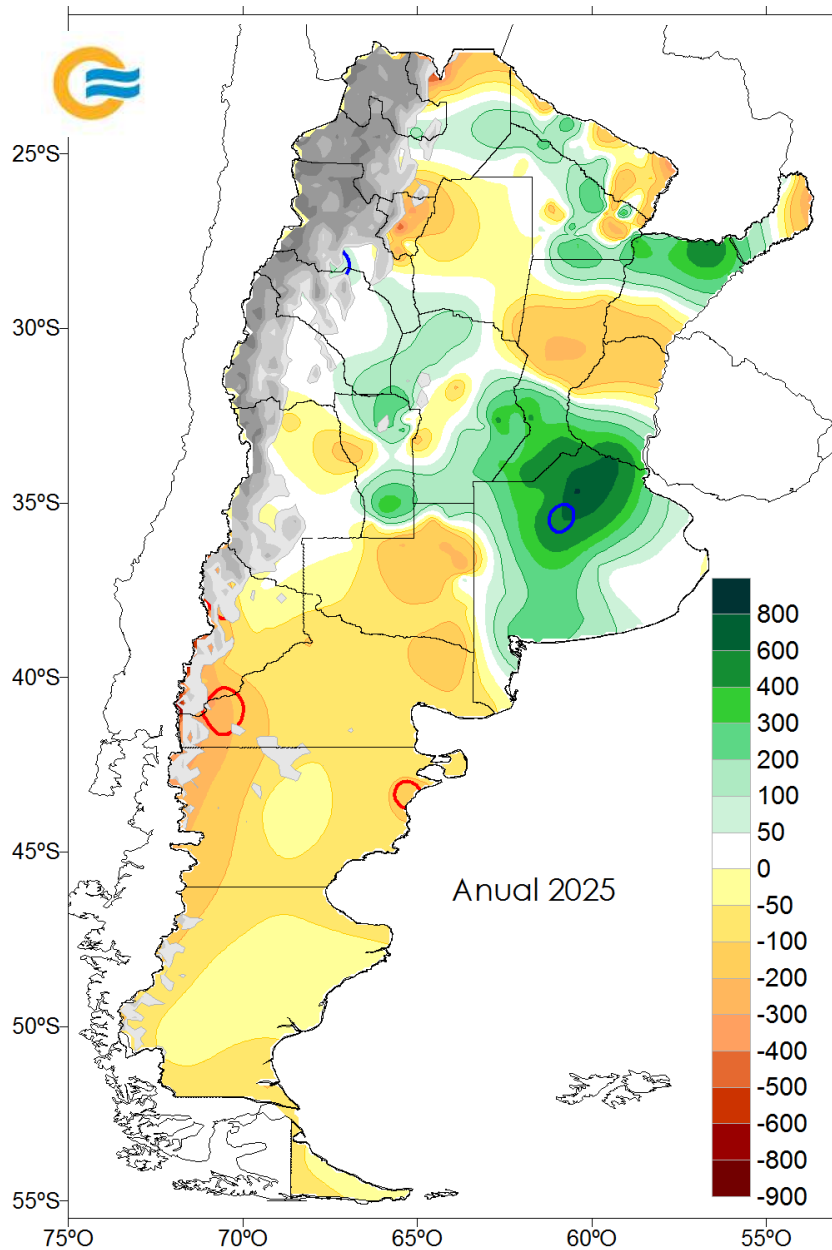


FIG. 2 – Desvío de la precipitación con respecto a la normal 1991-2020 (mm)

Se destaca el registro de 1654.1 mm en Nueve de Julio, el cual fue superior al máximo valor anterior de 1651.8 mm registrado en 2012 para el periodo 1961-2024.

Por otro lado, precipitaciones inferiores a 200 mm (isolínea resaltada en negro) se observaron en San Juan, noroeste de Mendoza y gran parte de la Patagonia. Las más significativas se dieron en la provincia San Juan (San Juan con 128.5 mm), Mendoza (Uspallata con 97.8 mm y Mendoza con 142.3 mm), Neuquén (Bajada del Agrio con 92.5 mm, La Higuera con 102.1 mm, Los Maitenes con 145.9 mm y Neuquén con 105.6 mm), Río Negro (Maquinchao con 142.1 mm), Chubut (Trelew con 97.5 mm, Puerto Madryn con 117.3 mm, Paso de Indios con 153.3 mm y Comodoro Rivadavia con 178.6 mm) y Santa Cruz (Gobernador Gregores con 106.8 mm, El Calafate con 133.8 mm, Río Gallegos con 173.3 mm y Santa Cruz con 189.7 mm).

Las anomalías con respecto a los valores medios (Figura 2), destacan una mayor presencia de anomalías negativas, siendo máximas en el norte de Salta, Tucumán, sectores de Formosa, este de Misiones, noreste de La Pampa y el noroeste de la Patagonia con valores inferiores a los -200 mm. Entre los máximos desvíos están los correspondientes a Las Lagunas (Neuquén) con -1000 mm, Cerro Nevado (Neuquén) con -663.4 mm, Cerro Mirados (Neuquén) con -587.3 mm, Bernardo de Irigoyen con -378.3 mm, Lago Aluminé (Neuquén) con -375 mm y Bariloche con -366.4 mm

Por otro lado los excesos han sido en el sur de Misiones, norte de Corrientes, este de Chaco, sur de Santa Fe, sur de Entre Ríos, sectores de Córdoba y San Luis y Buenos Aires. Los más relevantes ocurrieron en:

Buenos Aires: Nueve de Julio con +600.8 mm, Junín con +481.5 mm, Bolívar con +457.5 mm, y Pehuajó con +341.6 mm;

Santa Fe: Zavalla con +389.5 mm, y Rosario con +396.2 mm;

Corrientes: Ituzaingó con +623.4 mm y Corrientes con +460.7 mm;

Chaco: Pampa Almirón con +421.1 mm, Resistencia con +195.2 mm y Presidencia Roque Sáenz Peña con +125.9 mm.

Si expresamos dichos déficit o excesos en desvíos porcentuales (Figura 3), un área importante del país se encontró dentro de 20 y -20%. Los déficits importantes se ubicaron en gran parte de la Patagonia y sectores más reducidos en La Pampa, Tucumán, norte de Mendoza y norte de Salta, en general se puede ver que gran parte de los meses las lluvias han estado por debajo de la media.

Por otro lado, los excesos fueron en el norte y centro de Buenos Aires, sur de Santa Fe y áreas más reducidas en Formosa, Chaco, Corrientes, San Luis, sudeste de Córdoba y oeste de Catamarca. La mayor área fue como consecuencia de las lluvias significativas de febrero, marzo, mayo y agosto. En el caso particular de la localidad de Tinogasta, los meses de febrero y diciembre fueron los responsables del exceso, dado que las lluvias en esos meses representaron el 79% del valor anual, siendo más un 153% de dicho valor).

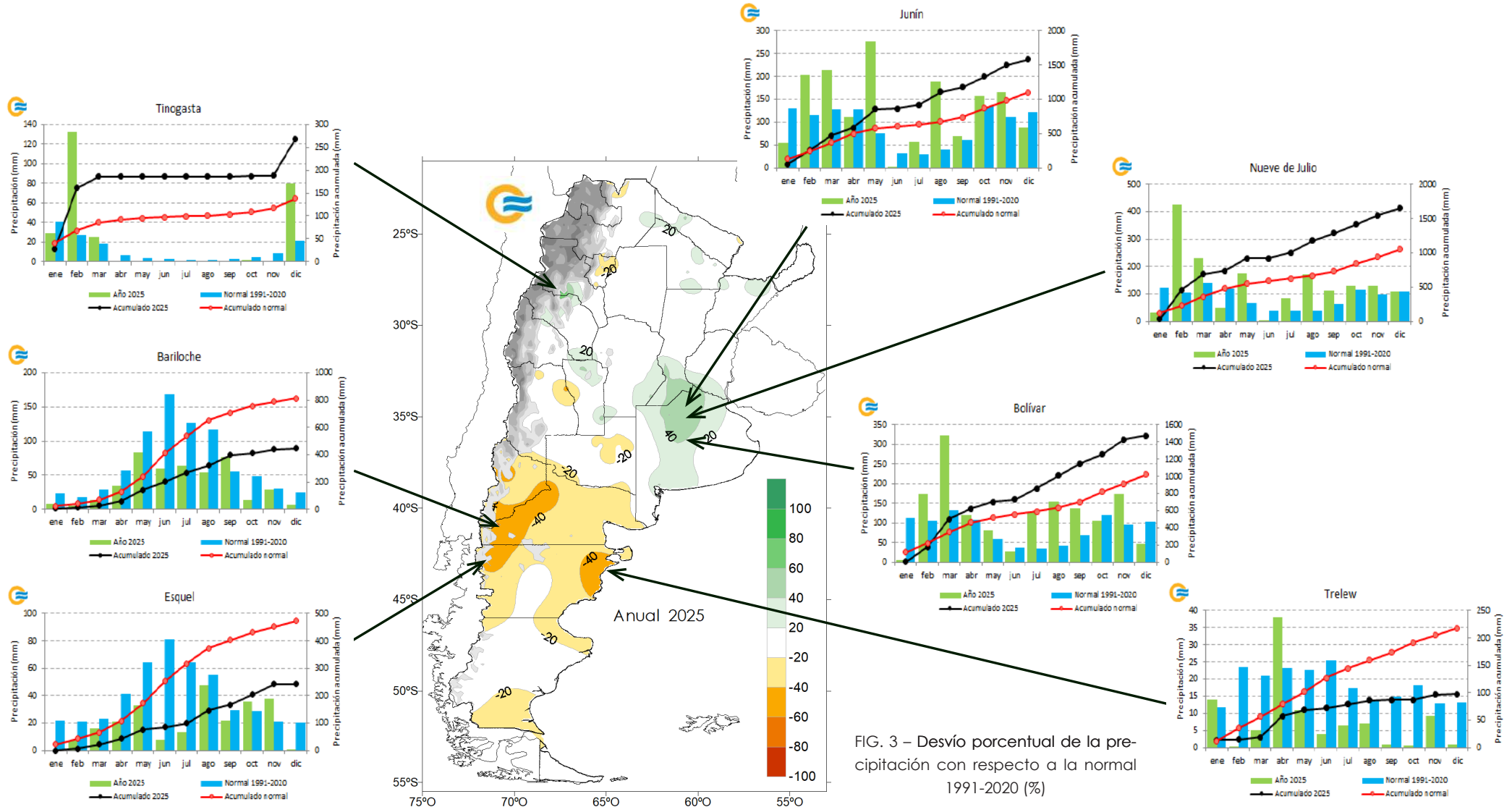


FIG. 3 – Desvío porcentual de la precipitación con respecto a la normal 1991-2020 (%)

1.2 - Principales singularidades estacionales

Verano:

El verano presentó anomalías mayormente negativas siendo máximas en el norte del país. En cuanto a los desvíos positivos se dieron en el noroeste de Buenos Aires, sudeste Santa Fe y zonas aisladas en San Luis (Figura 4).

Otoño:

Las lluvias del trimestre otoñal presentaron anomalías positivas en el este de Salta, centro y oeste de Formosa, oeste de Chaco, centro y este de Corrientes, sur de Santa Fe y Entre Ríos, Buenos Aires y sectores de Córdoba, San Luis y La Pampa. En cuanto a las anomalías negativas las más significativas tuvieron lugar en Misiones, este de Formosa y Chaco, norte y centro de Santa Fe, norte de Entre Ríos (Figura 5). En este período se destacó el registro en la localidad de Junín con 603.4 mm, que superó al máximo anterior de 597.8 mm del otoño de 1993, para el período 1961-2024. Igualmente, los 438.9 mm de Bahía Blanca superaron los 428.8 mm de 1980 para el período 1961-2024.

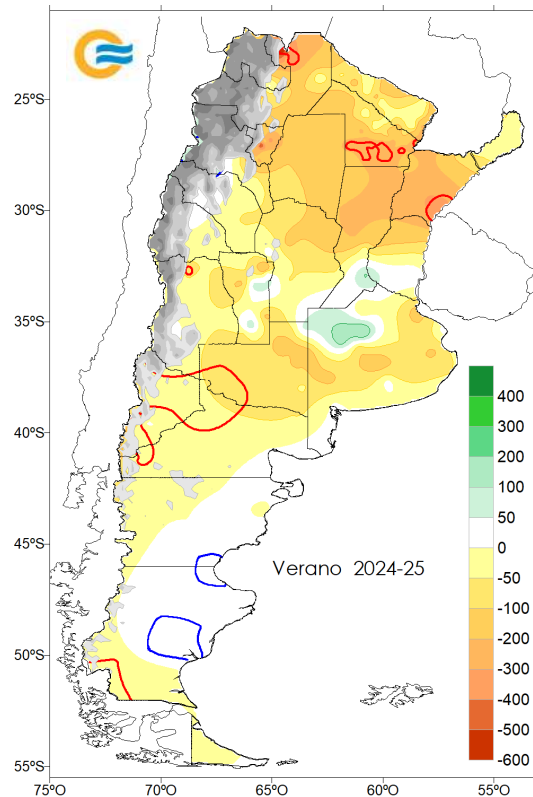


FIG. 4 – Desvío de la precipitación con respecto a la normal 1991-2020 (mm) en el verano 2024-2025.

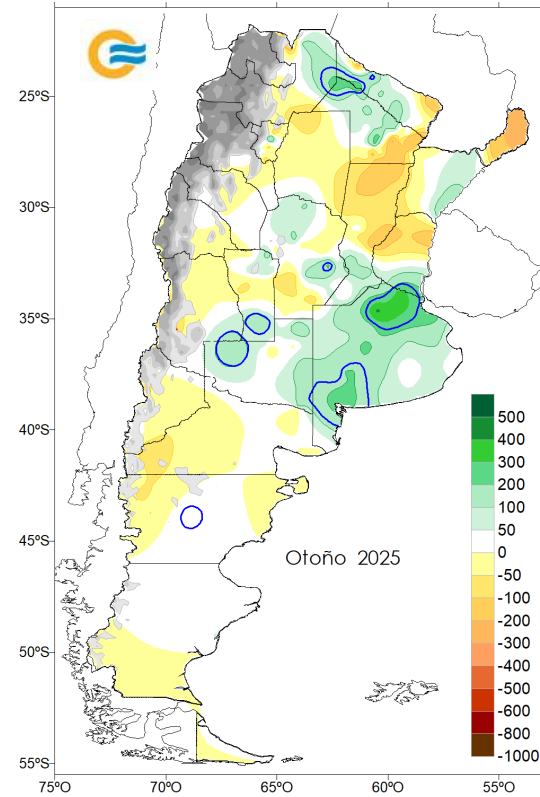


FIG. 5 – Desvío de la precipitación con respecto a la normal 1991-2020 (mm) en el otoño 2025.

Invierno:

El invierno presentó anomalías positivas en el centro del país, Litoral y sectores de Chaco. En cuanto a las anomalías negativas las más significativas tuvieron lugar en el oeste de la Patagonia y sectores del este de Salta y Formosa (Figura 6). En algunas localidades se han superado los máximos y mínimos registros para el invierno, como se muestra en la Tabla 1:

Primavera:

La primavera (septiembre, octubre y noviembre) ha presentado anomalías mayormente negativas siendo máximas en el noroeste del país y costa Patagónica. En cuanto a los desvíos positivos fueron acotados en dos áreas, una comprendiendo el sur de Misiones, norte de Corrientes y sur de Chaco y otra abarcando a Buenos Aires, sudeste de Córdoba y extremo sur de Santa Fe (Figura 7).

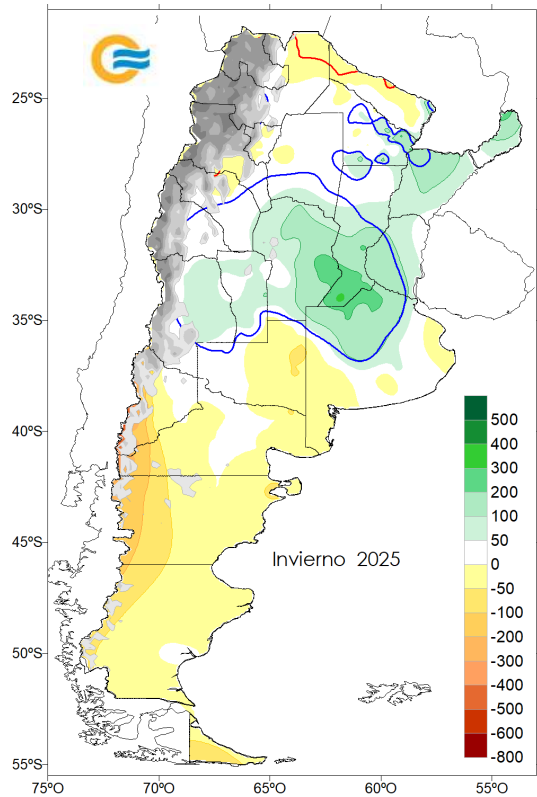


FIG. 6 – Desvío de la precipitación con respecto a la normal 1991-2020 (mm) en el invierno 2025.

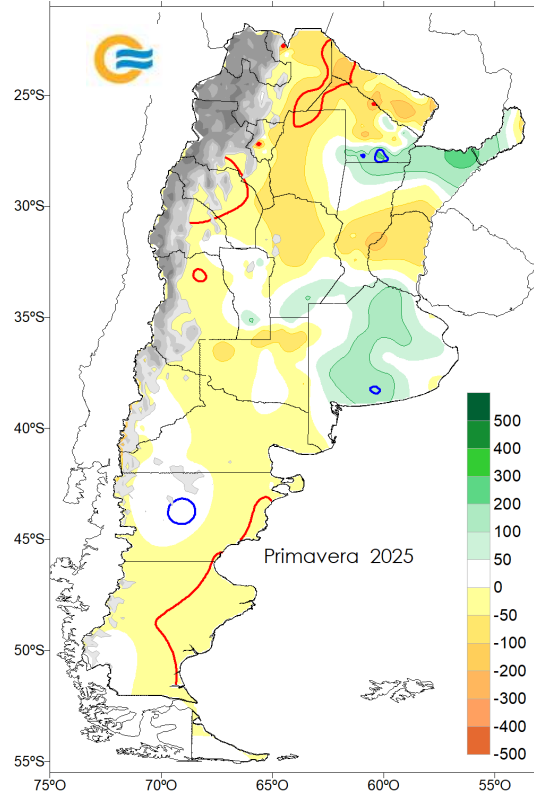


FIG. 7 – Desvío de la precipitación con respecto a la normal 1991-2020 (mm) en la primavera 2025.

Récord de precipitación en el invierno de 2025				
	Localidad	Precipitación (mm)	Récord anterior (mm)	Periodo de referencia
Máximo	San Juan	44.8	38.2 (2005)	1961-2024
	Chamical	46.1	45.0 (2016)	1961-2024
	Sauce Viejo	308.2	300.0 (1991)	1961-2024
	Paraná	277.1	255.6 (1967)	1961-2024
	Mendoza	63.8	63.0 (1997)	1961-2024
	Marcos Juárez	285	252.2 (1973)	1961-2024
	Rosario	264.9	255.3 (1972)	1961-2024
	Laboulaye	194.2	138.6 (1962)	1961-2024
	Nueve de Julio	260.0	247.6 (1997)	1961-2024
	Bolívar	308.2	244.0 (1963)	1961-2024
Mínimos	El Bolsón	217.3	221.9 (1990)	1961-2024
	Esquel	69.0	87.6 (1992)	1961-2024

Tabla 1

1.3 - Principales singularidades mensuales y diarias

Enero: las precipitaciones fueron predominantemente inferiores a los valores medios (Figura 8). Lluvias superiores a las normales tuvieron lugar en el centro de Salta, sur de Catamarca, sudoeste de Santiago del Estero, La Rioja, zona serrana de Córdoba y sectores aislados de San Luis, Mendoza, La Pampa, Santa Cruz y Tierra del Fuego. En algunas localidades se han presentado los mínimos valores para el mes, superando así a los records anteriores, como se detalla en la Tabla 2.

Récord de precipitación en enero 2025			
Localidad	Precipitación (mm)	Récord anterior (mm)	Periodo de referencia
Marcos Juárez	1.9	9.3 (1980)	1961-2024
Bolívar	5.5	24.0 (1969)	1961-2024
Presidencia Roque Sáenz Peña	9.8	17.6 (1964)	1961-2024
Las Flores	12.0	13.5 (1971)	1961-2024
Mar del Plata	14.8	21.0 (2007)	1961-2024
Tandil	14.8	29.0 (2009)	1961-2024

Tabla 2

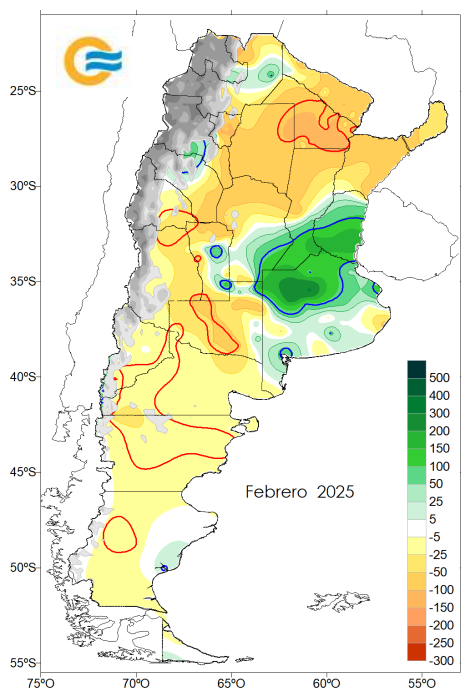


FIG. 9 – Desvío de la precipitación con respecto a la normal 1991-2020 (mm) en febrero .

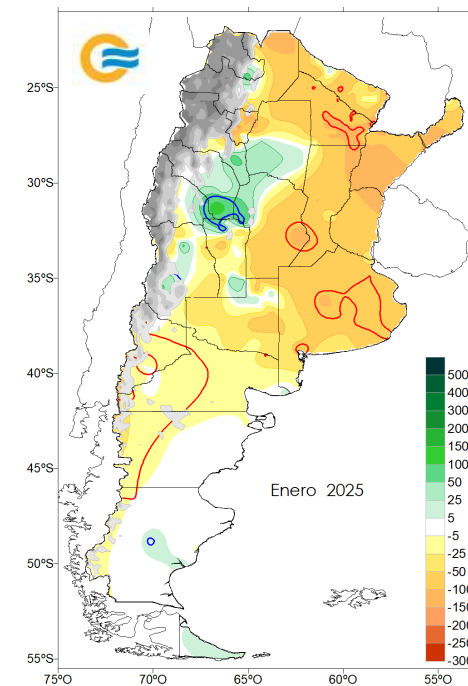


FIG. 8 – Desvío de la precipitación con respecto a la normal 1991-2020 (mm) en enero .

Febrero: se destacan anomalías negativas en gran parte del territorio, siendo más significativas en el NEA, Cuyo y norte de la Patagonia, donde se destaca a localidad de Resistencia (Tabla 3). Por otro lado, precipitaciones superiores a los valores medios se dieron en Entre Ríos, sur de Santa Fe, Buenos Aires, sudeste de Córdoba y aisladamente en otros sectores (Figura 9). Estos excesos están acompañados en algunos casos con valores que han superado a los máximos mensuales y diarios anteriores, los mismos se detallan en la Tabla 3.

Récord de precipitación en febrero 2025					
	Localidad	Precipitación (mm)	Récord anterior (mm)	Periodo de referencia	
Mínimo	Resistencia	6.0	11.0 (2018)	1961-2024	
Mensual	Máximo	Nueve de Julio	428.0	286.9 (1973)	1961-2024
		Tinogasta	132.3	129.4 (1977)	1961-2024
Diario	Máximo	Punta Indio	166.0 día 5	156.2 el 13/feb/1958	1956-2024
		Nueve de Julio	148.0 el día 23	135.0 el 28/feb/2001	1961-2024

Tabla 3

Marzo: las anomalías con respecto a los valores medios fueron positivas en gran parte del país, siendo más relevantes en Buenos Aires, La Pampa, San Luis, Córdoba y noreste de Salta. Por otro lado, las anomalías negativas más relevantes se dieron en el Litoral, este de Chaco y sectores de Tucumán, Formosa y Patagonia (Figura 10). Se han superados valores de precipitación a nivel mensual y diario, como se lista en la Tabla 4.

El evento diario más destacado ha sido el ocurrido en la localidad bonaerense de Bahía Blanca, donde se registró 209.5 mm en un corto período de tiempo entre las 3 h y las 9 h de la mañana del 7 de marzo, seguidos por otros 80 mm entre las 9 h y las 15 h del mismo día. En total, Bahía Blanca acumuló 290 mm en solo 12 horas, con una intensidad aproximada de 25 mm/h. Un evento de esta magnitud tiene un período de recurrencia superior a los 100 años. Más información en:

https://www.smn.gov.ar/sites/default/files/Informe_Bahia%20Blanca_SMN_marzo_2025.pdf

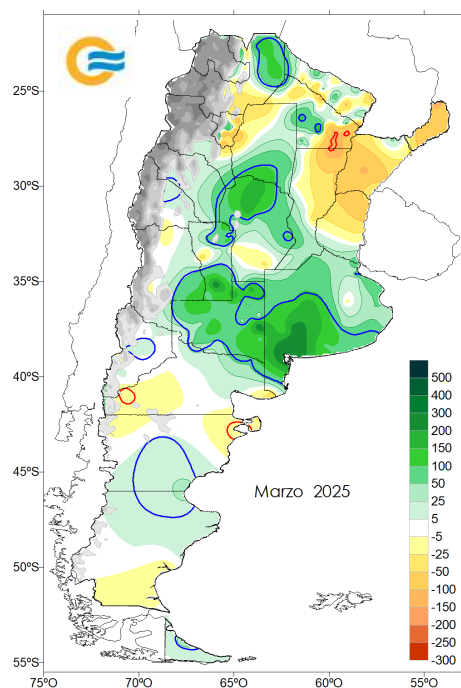


FIG. 10 – Desvío de la precipitación con respecto a la normal 1991-2020 (mm) en marzo.

Récord de precipitación en marzo 2025				
	Localidad	Precipitación (mm)	Récord anterior (mm)	Periodo de referencia
	Córdoba	307.0	295.0 (2010)	1961-2024
Mensual	Coronel Suárez	310.3	230.6 (2023)	1971-2024
	Bahía Blanca	385.7	272.0 (1877)	1860-2024
	Bahía Blanca	209.5 el día 6	108.8 (4/mar/1980)	1956-2024
Diario	La Plata	99.2 el día 2	97.0 (23/mar/1987)	1956-2024
	Tres Arroyos	91.5 el día 5	89.0 (9/mar/2023)	1961-2024

Tabla 4

Mayo: el mes se presentó con áreas con excesos y déficit bien definidas. Las anomalías positivas se dieron en general en el este y norte del territorio y las negativas el centro y oeste del mismo. Gran parte del área de excesos representaron el +80% del valor medio (isolínea remarcada en azul). En la Tabla 5 se indican las precipitaciones máximas a nivel mensual y diario, las cuales superaron a los valores anteriores (Figura 11).

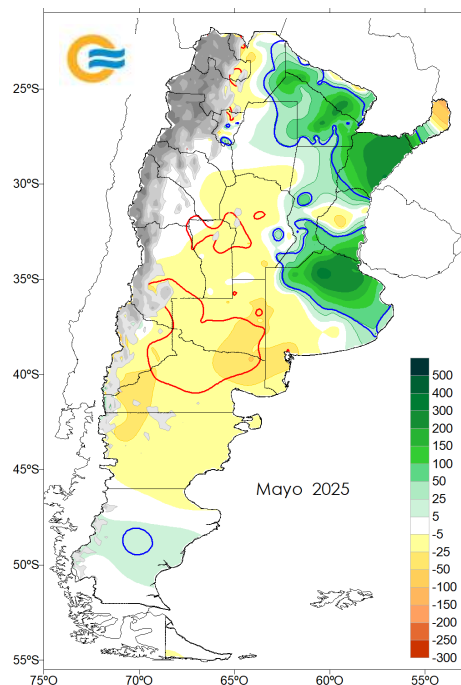


FIG. 11 – Desvío de la precipitación con respecto a la normal 1991-2020 (mm) en mayo .

Récord de precipitación en mayo 2025			
Localidad	Precipitación (mm)	Récord anterior (mm)	Periodo de referencia
Paso de los libres	435.0	321.7 (1967)	1961-2024
Monte Caseros	337.0	310.7 (1983)	1961-2024
Mensual Ezeiza	316.0	305.6 (2000)	1961-2024
Presidencia Roque Sáenz Peña	274.0	222.6 (1992)	1961-2024
Las Flores	224.0	173.1 (2001)	1961-2024
Presidencia Roque Sáenz Peña	144.0	117.0 (04/05/2018)	1961-2024
Merlo (Buenos Aires)	125.0	85.0 (25/05/2023)	2013-2024
Diario Junín	117.0	90.3 (8/5/1986)	1961-2024
San Fernando (Buenos Aires)	107.0	104.0 (15/05/2000)	1995-2024
El Calafate	18.0	16.0 (11/5/2019)	2002-2024

Tabla 5

Agosto: el mes estuvo caracterizado por el predominio de precipitaciones superiores a los valores medios al norte de los 40°S e inferiores en La Patagonia, este de La Pampa, Formosa, noreste de Salta y sur de Misiones (Figura 12). En varias localidades se han superado los máximos anteriores a nivel mensual y diario, como se presenta en la Tabla 6:

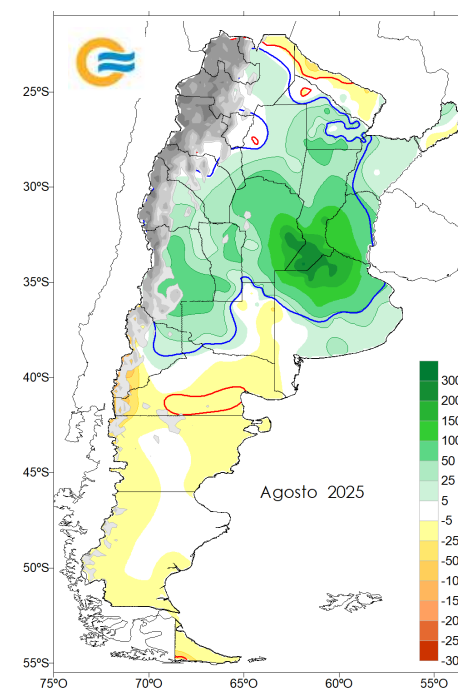


FIG. 12 – Desvío de la precipitación con respecto a la normal 1991-2020 (mm) en agosto .

Récord de precipitación en agosto 2025				
	Localidad	Precipitación (mm)	Récord anterior (mm)	Periodo de referencia
Mensual	Sauce Viejo	204.0	196.4 (1967)	1961-2024
	Marcos Juárez	195.3	114.0 (2012)	1951-2024
	Nueve De Julio	171.0	154.3 (2012)	1903-2024
	Laboulaye	131.3	106.2 (1976)	1940-2024
	Córdoba	99.3	50.7 (1994)	1961-2024
	Villa de María	98.1	79.7 (1967)	1903-2024
	San Martín (Mendoza)	76.0	38.7 (2005)	1961-2024
	Mendoza	63.0	31.5 (2002)	1961-2024
	San Juan	43.8	38.2 (2005)	1961-2024
	Chamical	40.5	34.0 (2015)	1961-2024
	Marcos Juárez	155.0	53.3 (09/08/2015)	1952-2024
	Venado Tuerto	125.3	40.0 (09/08/2015)	1989-2024
	Laboulaye	89.1	46.6 (09/08/1962)	1939-2024
	Villa de María	70.5	37.0 (01/08/1967)	1931-2024
Diario	Córdoba	69.5	50.1 (07/08/1994)	1947-2024
	San Martín (Mendoza)	62.5	34.7 (30/08/2005)	1956-2024
	Córdoba Observatorio	60.8	44.7 (07/08/1994)	1936-2024
	San Rafael	54.0	37.0 (16/08/2007)	1956-2024
	Chamical	36.5	19.0 (17/08/1965)	1962-2024
	Mendoza	36.0	19.3 (29/08/2024)	1956-2024
	San Juan	28.8	28.0 (23/08/2005)	1966-2024

Tabla 6

Diciembre: las anomalías con respecto a los valores medios (Figura 13) fueron inferiores al sur de los 30°S y el extremo noreste de Salta. Los excesos más importantes se ubicaron en el centro y norte del Litoral, Formosa, Chaco, gran parte del NOA y San Juan, las cuales en gran parte han superado en +80% del valor medio (isolínea resaltada en azul). Se registraron valores máximos, los cuales superaron a los anteriores como se muestra en la Tabla 7.

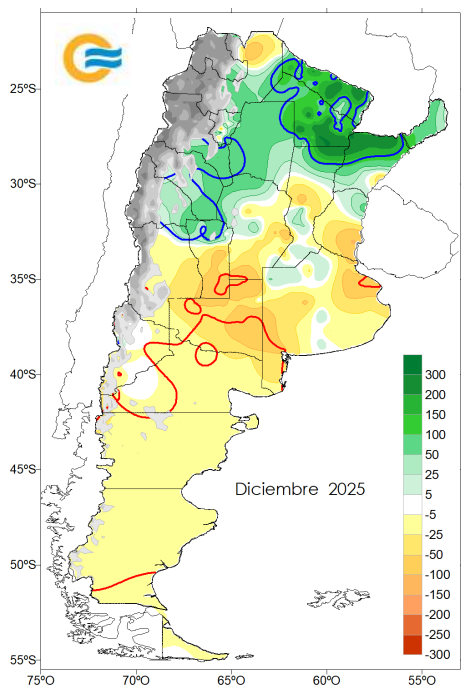


FIG. 13- Desvío de la precipitación con respecto a la normal 1991-2020 (mm) en diciembre.

Récord de precipitación en diciembre 2025

	Localidad	Precipitación (mm)	Récord anterior (mm)	Periodo de referencia
Mensual	Corrientes	554.7	422.8 (1996)	1961-2024
	Resistencia	408.0	326.6 (1996)	1966-2024
Diario	Corrientes	142.0 el día 6	134.5 (3/dic/1979)	1961-2024

Tabla 7

1.4 - Frecuencia de días con lluvia

Como se aprecia en la Figura 14, durante el año 2025 la frecuencia de días con lluvia fue superior a 80 días en el centro del NOA, Litoral, gran parte de Buenos Aires, sectores del sur de Córdoba y sur y este de Santa Fe, y el noroeste y zona costera sur de la Patagonia. Los valores máximos tuvieron lugar en:

- **Misiones:** Bernardo de Irigoyen con 135 días, Iguazú con 121 días y Posadas 118 días;
- **Corrientes:** Ituzaingó con 111 días, Mercedes con 108 días, Monte Caseros con 107 días y Corrientes con 100 días;
- **Entre Ríos:** Concordia con 100 días, Paraná con 88 días y Gualeguaychú con 80 días;
- **Buenos Aires:** Benito Juárez y Villa Gesell con 101 días, Olavarría con 100 días, Dolores con 97 días, Bolívar y Mar del Plata con 96 días, Tres Arroyos con 92 días y La Plata con 88 días y Buenos Aires Observatorio con 91 días;
- **Comahue (Neuquén):** Cerro Mirador con 221 días, Cerro Nevado con 165 días, Villa La Angostura con 157 días, Lago Espejo Chico con 155 días y Villa Traful con 154 días;

- **oeste de Río Negro:** El Bolsón con 103 días y Bariloche con 88 días;
- **sur de la Patagonia:** Ushuaia con 169 días, Río Grande con 102 días, Río Gallegos con 89 días y Puerto Deseado 85 días.

Por otro lado, en el oeste de Formosa, Chaco, Catamarca y La Rioja, San Juan, sur de Mendoza y este de Neuquén, las frecuencias fueron menores a 40 días.

Los mínimos valores se han dado en San Juan con 19 días, La Higuera (Neuquén) con 25 días, Uspallata y San Martín (ambas en Mendoza) con 26 días, Neuquén con 28 días, Mendoza, El Calafate y Bajada del Agrio (Neuquén) con 31 días, y Trelew y Puelches (La Pampa) con 34 días.

Se destaca la frecuencia de 34 días con lluvia en Trelew, la cual resulta ser la más baja del periodo 1961-2024, después de superar a los 42 días de año 1996.

Los desvíos de la frecuencia de días con precipitación respecto a los valores medios (Figura 15) fueron negativos en el centro y norte del NOA, Mendoza, San Luis, gran parte de Córdoba, La Pampa, Patagonia y sectores más reducidos en Formosa, Santa Fe, sur de Entre Ríos y Buenos Aires. Los más significativos tuvieron lugar en Trelew con -28 días, La Higuera (Neuquén) con -20 días, San Julián y Desaguadero (Mendoza) con -19 días, y Bariloche con -17 días † Tres Arroyos.

Con respecto a los desvíos positivos se han presentado en general al norte de los 30°S, sur de Santa Fe y oeste de Buenos Aires. Se mencionan algunos desvíos: +46 días en Cerro Mirador y Villa Traful (ambas en Neuquén), +20 días en Tinogasta, +15 días en Sauce Viejo, +13 días en Venado Tuerto y +12 días en Iguazú, Presidencia Roque Sáenz Peña, Bolívar y Olavarría.

A modo de ejemplo se muestran los desvíos estacionales, donde se destaca una mayor presencia de valores negativos en el verano, primavera y, al sur de los 35°S, en el invierno. Por otra parte, el otoño presentó una mayor presencia de anomalías positivas (Figura 16).

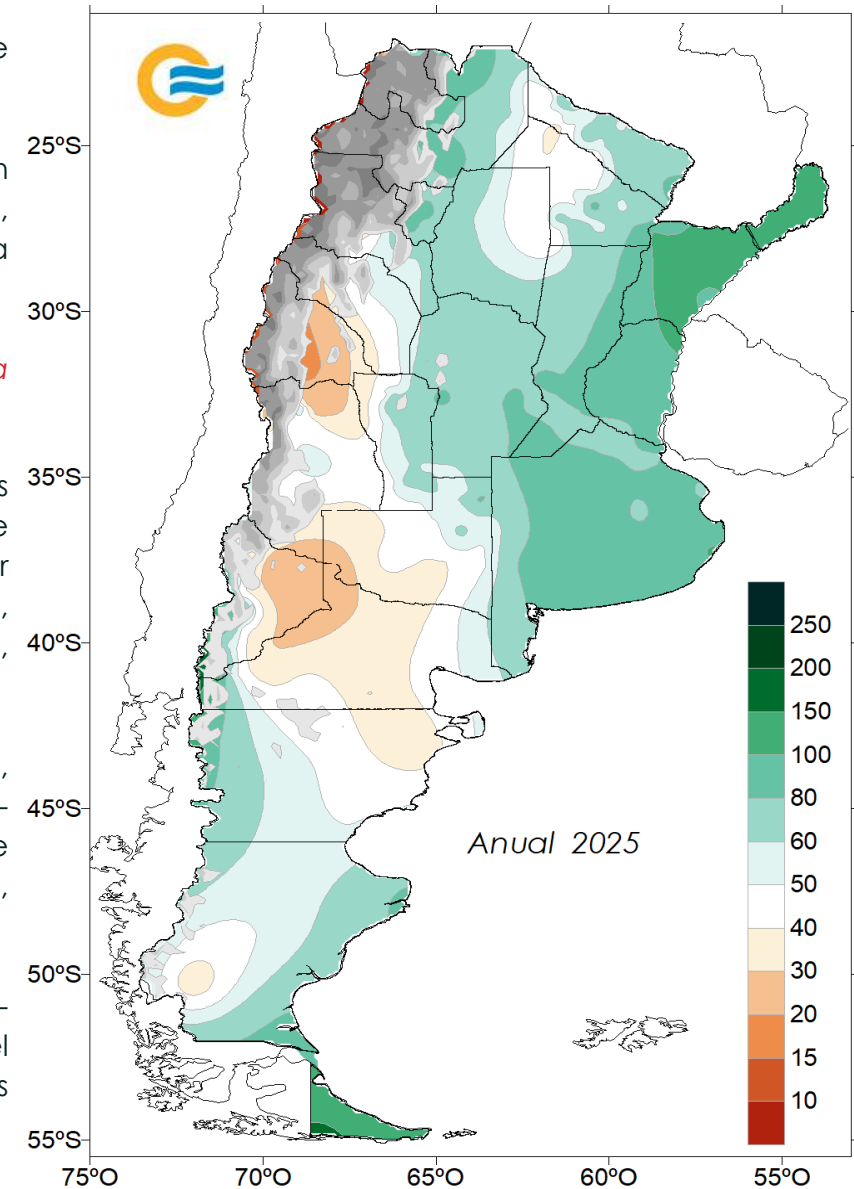


FIG. 14 – Frecuencia de días con lluvia.

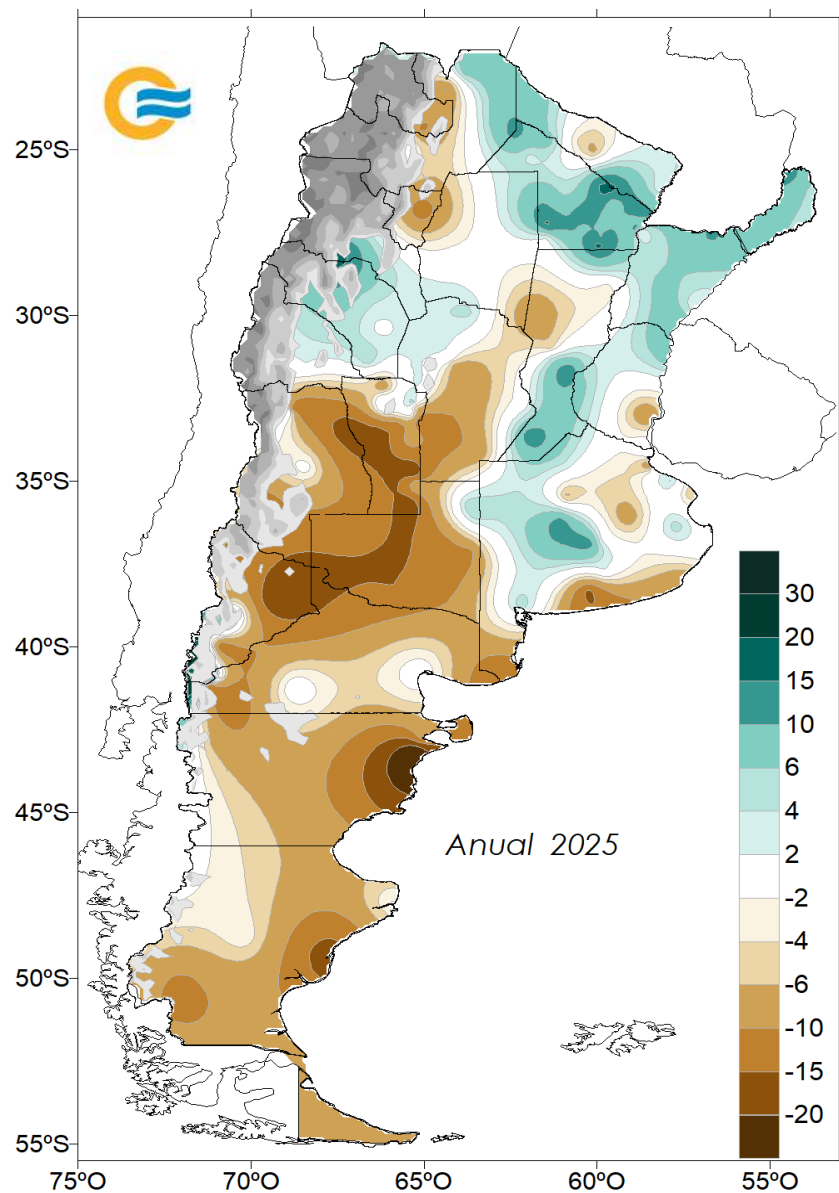


FIG. 15 – Desvío de la frecuencia de días con lluvia con respecto al valor medio 1991-2020.

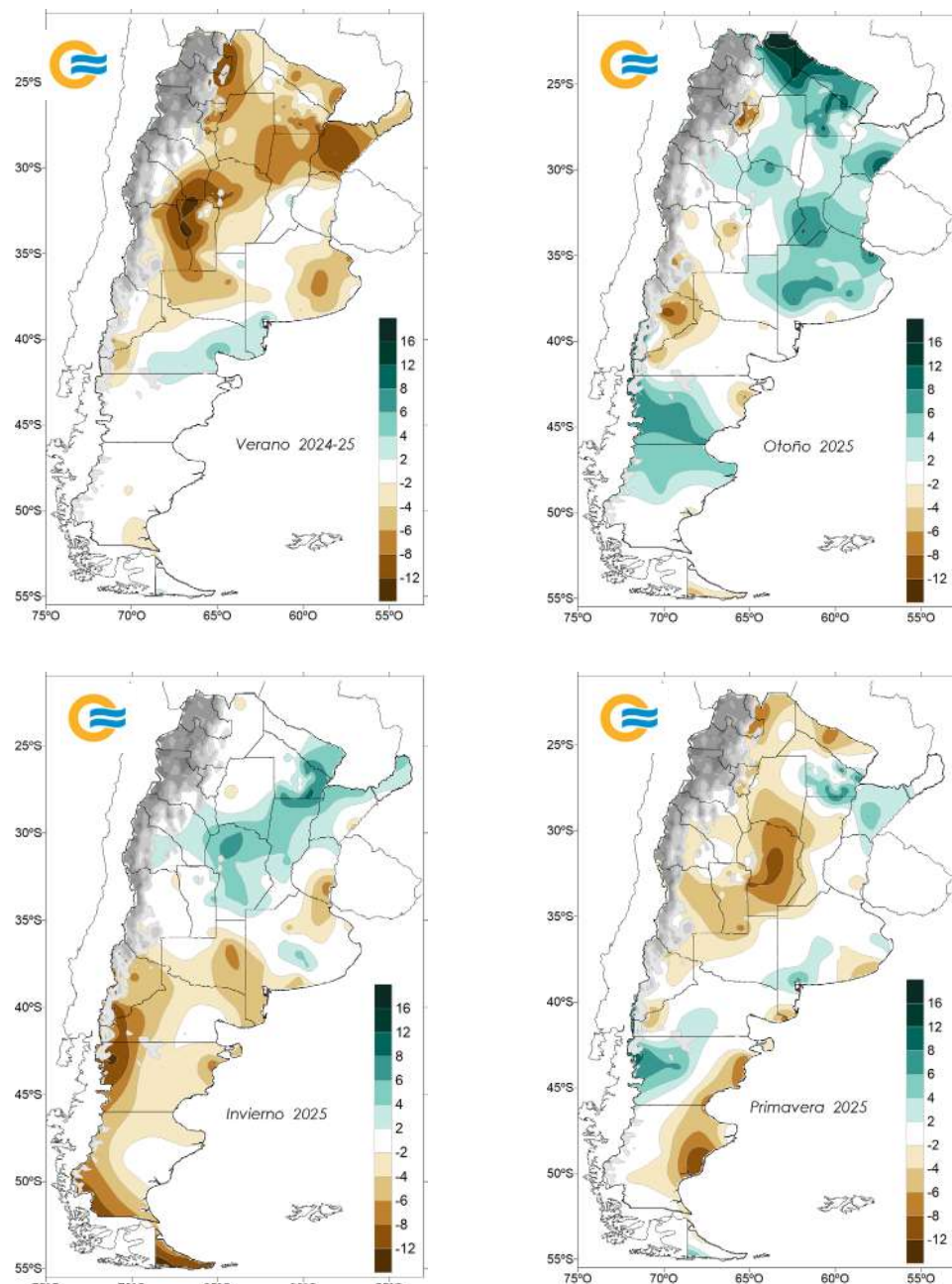


FIG. 16 – Desvío de la frecuencia de días con lluvia con respecto al valor medio 1991-2020 en el verano, otoño, invierno y primavera.

1.5 - Frecuencia de días con tormenta

Las tormentas se concentraron principalmente en el noreste del país. En el centro y norte del Litoral, así como en el este de Formosa y Chaco, centro de Salta, centro de Córdoba, norte de San Luis y noreste de Buenos Aires donde la frecuencia anual superó los 50 días (Figura 17). Los registros más altos se localizaron en la provincia de Misiones, destacándose Iguazú con 102 días y Bernardo de Irigoyen con 99 días.

Otras ciudades con alta frecuencia de tormentas fueron: Posadas y Resistencia ambas con 87 días, Corrientes con 83 días y Monte Caseros con 82 días.

Por el contrario, los valores mínimos de esta zona se observaron hacia el oeste. Las provincias de San Juan, Catamarca, Jujuy, Mendoza, Neuquén y Río Negro registraron la menor actividad, con cifras que oscilaron entre los 10 días en Jáchal y los 17 días en San Antonio Oeste, pasando por 11 días en Tinogasta, 12 días en Jujuy Universidad y San Martín en Mendoza y Neuquén ambas con 17 días.

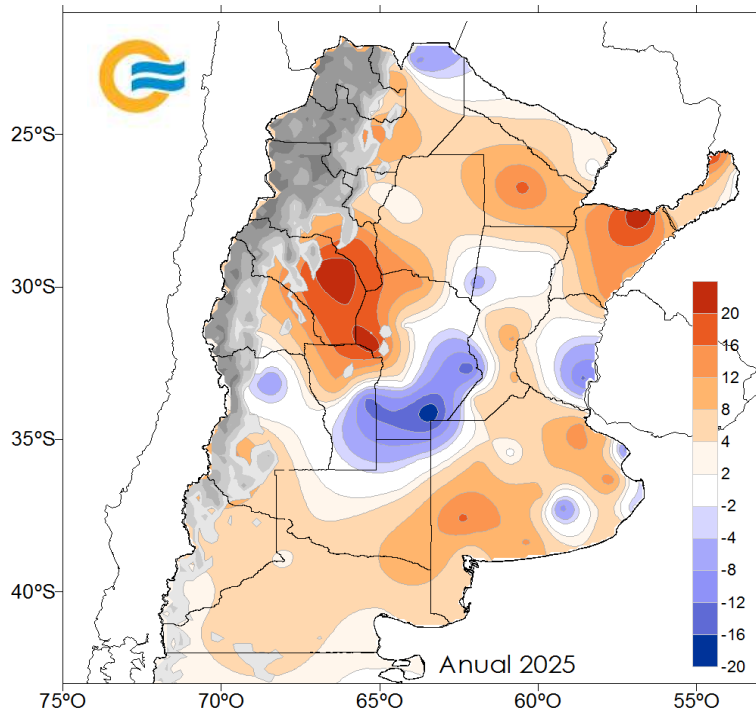


FIG. 18 – Desvío de la frecuencia de días con tormenta con respecto al valor medio 1991-2020.

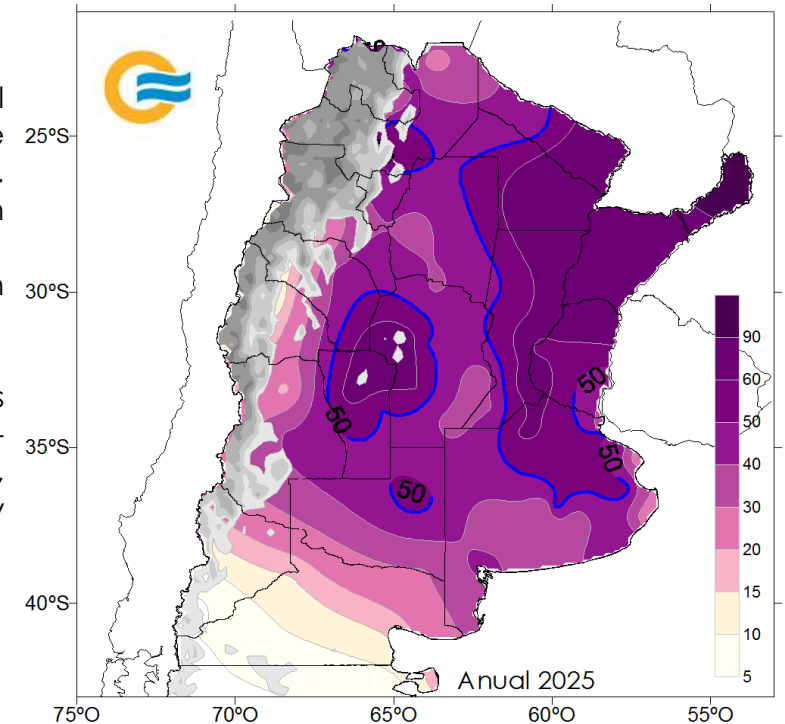


FIG.17 – Frecuencia de días con tormenta.

Se destacó la frecuencia de 74 días en Villa Dolores, que superó al máximo anterior observado en 2012 con 66 días para el periodo 1961-2024.

El desvío de la frecuencia de días con tormenta con respecto a los valores medios muestra un predominio de anomalías positivas, ubicándose los valores máximos en Corrientes, Córdoba, La Rioja, Misiones, Catamarca y Chaco (Figura 18). Los apartamientos más notables que se registraron fueron de +25 días en Ituzaingó +23 días en Villa Dolores, +22 días en La Rioja, +20 días en Iguazú, +18 días en Catamarca y Presidencia Roque Sáenz Peña, y +17 días en Pigüé.

Por otro lado, se observaron frecuencias inferiores al promedio en áreas reducidas, destacándose Laboulaye con -20 días, Marcos Juárez con -15 días, Villa Reynolds con -14 días, Gualeguaychú con -13 días y Tandil con -10 días

1.7 - Frecuencia de días con granizo

En la red de estaciones meteorológicas del Servicio Meteorológico Nacional se registró el fenómeno de granizo durante gran parte del año, con una mayor frecuencia entre los meses de septiembre y noviembre.

Las localidades con mayor cantidad de eventos se concentraron en el extremo sur de la Patagonia, así como en sectores de Mendoza y el sur de Santa Fe. Se destacan Río Grande (9 días), Malargüe (8 días) y Santa Cruz (7 días). Asimismo, Rosario, Viedma y Río Gallegos registraron 6 días con ocurrencia de granizo, mientras que Monte Caseros, San Luis y Puerto Deseado contabilizaron 5 días (Figura 20).

En relación con los desvíos respecto de los valores medios, estos se mantuvieron dentro de rangos normales a levemente superiores en el Litoral, el suroeste de Buenos Aires y el norte y extremo sur de la Patagonia. En contraste, las provincias de Jujuy y Córdoba presentaron anomalías negativas.

Cabe señalar que, en el sur de la Patagonia, los registros incluyen también los días con ocurrencia de graupel, definido como precipitación en forma de pequeños granos de hielo blanco y opaco, con diámetros aproximados de 2 a 5 mm.

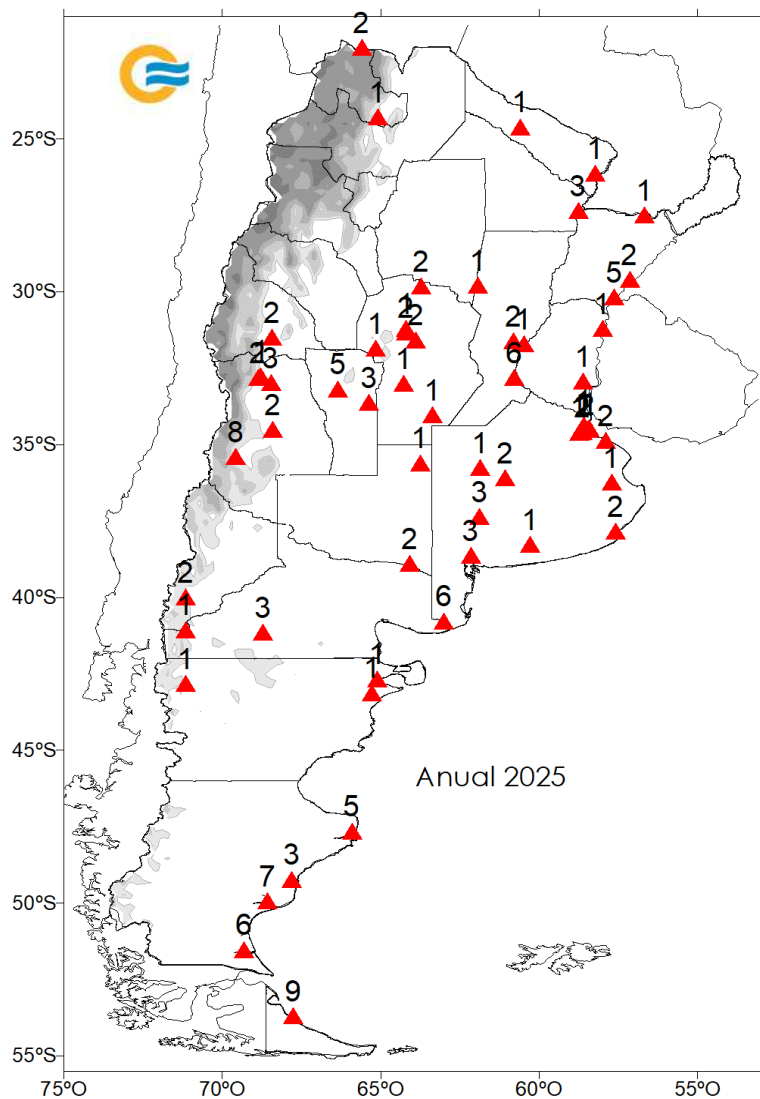


FIG. 20 - Frecuencia de días con granizo.

1.8 - Frecuencia de días con niebla y neblina

La frecuencia de días con neblina fue mayor a 120 días en el sur del NOA (Salta con 171 días), Tucumán (Ciudad de Tucumán 143 días), noreste y sur de Santa Fe (Reconquista con 207 días y Venado Tuerto con 151 días), sur de Chaco (Resistencia con 136 días), sur de Córdoba (Laboulaye 135 días) y este y sur de Buenos Aires (La Plata con 139 días, Mar del Plata con 142 días, Tres arroyos con 249 días, Azul con 146 días y Olavarría con 200 días) (Figura 21).

Con respecto a las nieblas, el área se reduce al igual que las frecuencias, los máximos se dieron en el este de Misiones, Entre Ríos, sur de Santa Fe y este de Buenos Aires (Figura 22). Las mayores frecuencias correspondieron a Dolores con 89 días, La Plata con 83 días, Tandil con 83 días, Azul con 79 días, Mar del Plata con 70 días, Las Flores con 66 días, Rosario con 61 días, y Bernardo de Irigoyen con 58 días.

Con respecto a los desvíos comparados con los valores medios 1991-2020 (Figura 23), se observa desvíos negativos en sectores más acotados, como ser Misiones, Tucumán, sur de Córdoba, noroeste y sur de Santa Fe y Buenos Aires; destacando a Bernardo de Irigoyen con -24 días, Laboulaye y Tandil con -18 días, seguido por Junín con -15 días, y Ceres con -8 días. En contrapartida las anomalías positivas se dieron en el este de Formosa, Chaco, Corrientes, gran parte de Buenos Aires y más aisladamente en Jujuy, Córdoba, San Luis, este de La Pampa y la Patagonia, con valores de +30 días en La Plata, +27 días en Dolores, +20 días en Monte Caseros y +14 días en Olavarría y Puerto Deseado.

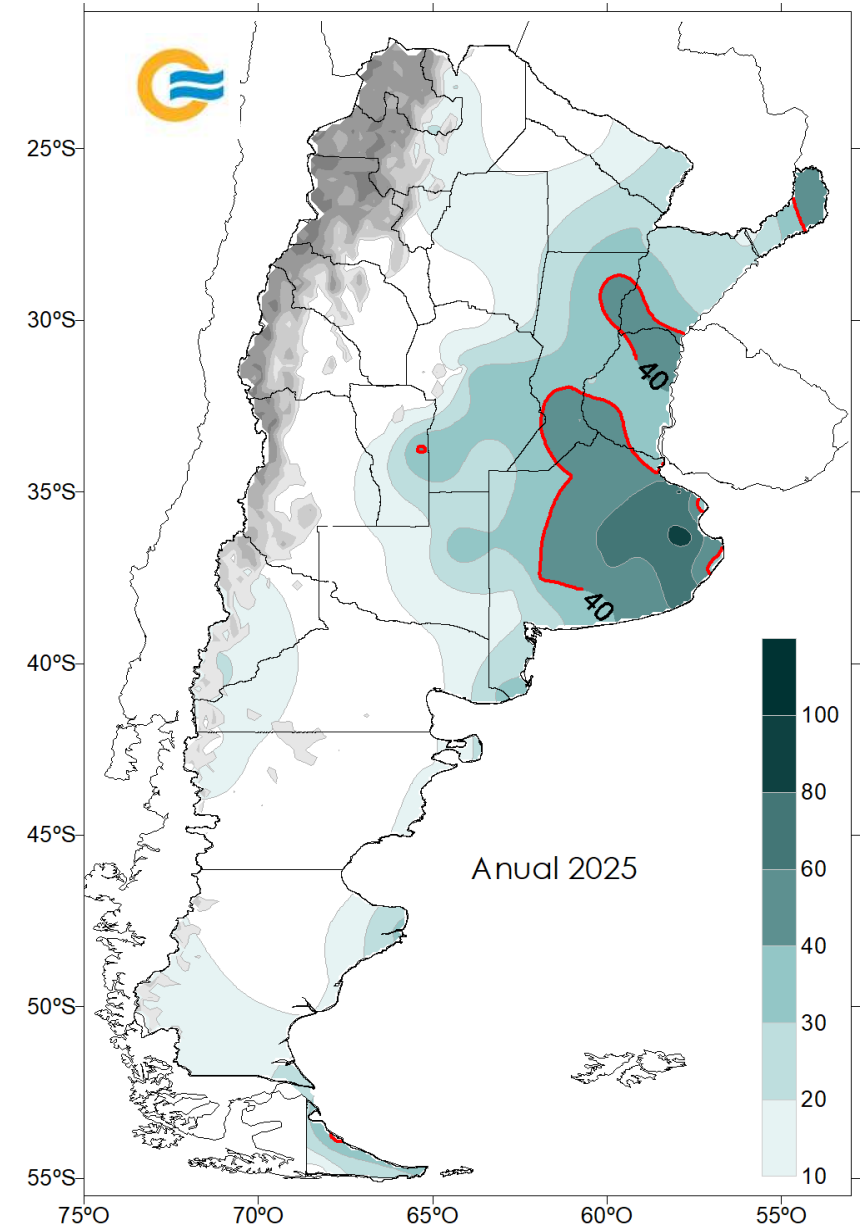


FIG. 21 – Frecuencia de días con niebla.

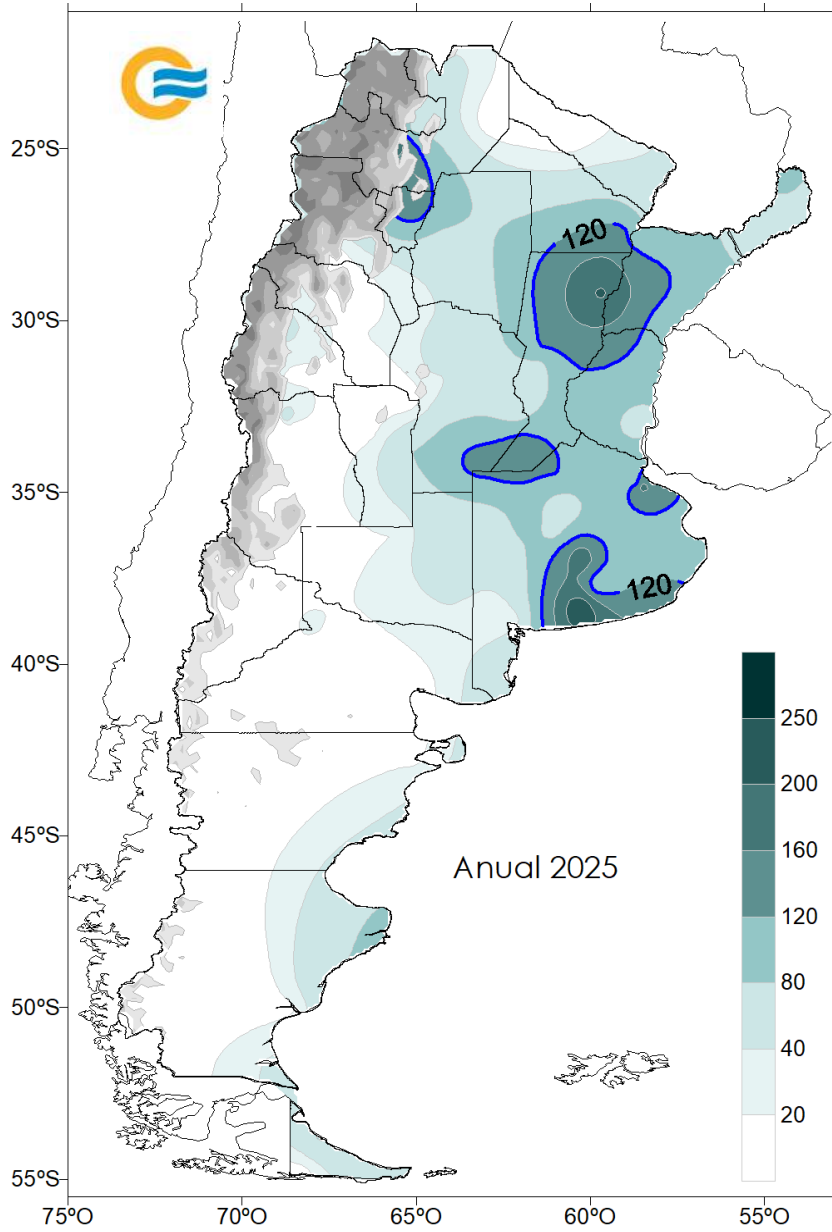


FIG. 22 – Frecuencia de días con neblina.

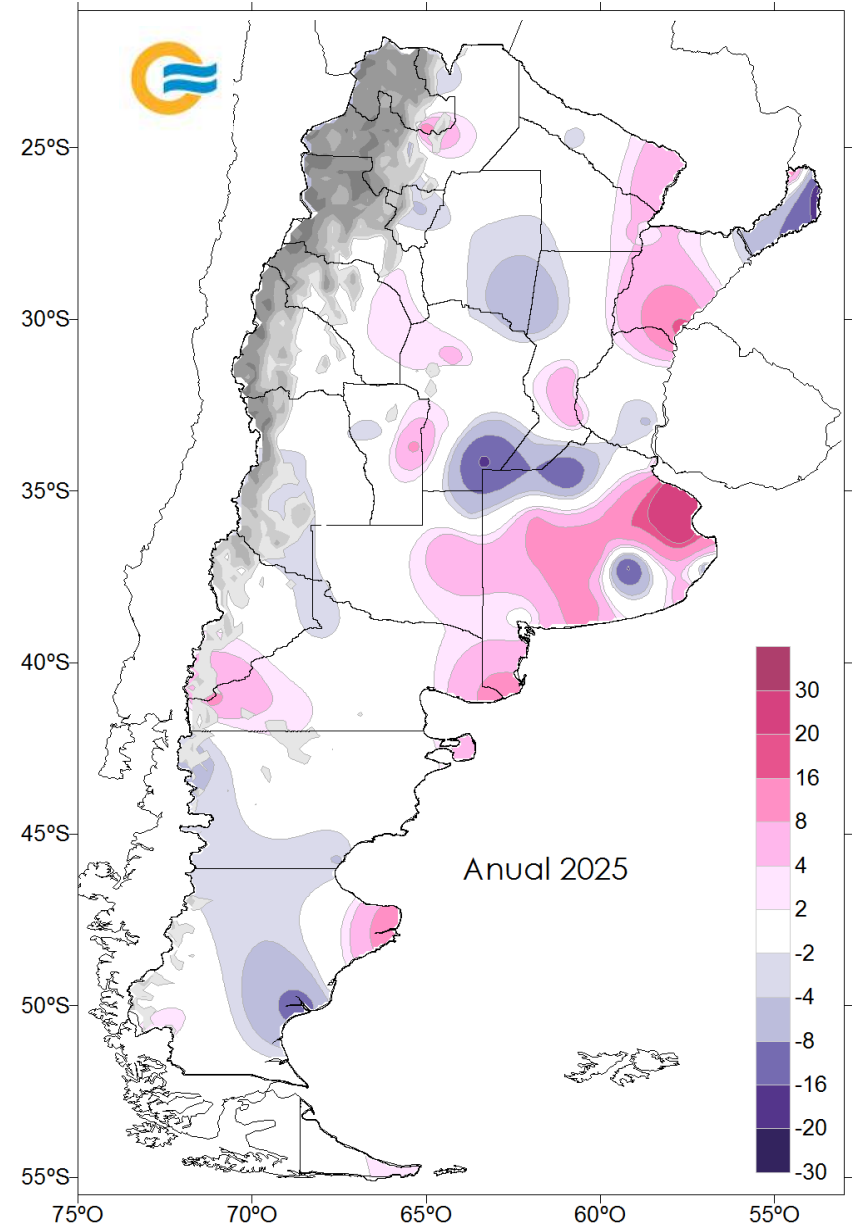


FIG. 23 – Desvío de la frecuencia de días con neblina con respecto al valor medio 1991-2020 (días).

2 - TEMPERATURA

2.1 - Temperatura media

Durante el año 2025 en el territorio argentino la temperatura media presentó valores superiores a 22°C en el norte del país y el este de Catamarca y La Rioja (Figura 24 - iso-línea resalta en negro), en tanto en el norte de Jujuy y el oeste y sur de la Patagonia las marcas estuvieron por debajo de 10°C. Entre los mayores registros se mencionan los que tuvieron lugar en Rivadavia con 25.6°C, Las Lomitas 24.6°C, Orán y Tartagal con 24.5°C, Catamarca con 24.2°C, Santiago del Estero con 23.8°C y La Rioja con 22.9°C.

Por otro lado, los mínimos con excepción de la zona cordillerana, se dieron en Ushuaia con 6.6°C, Río Grande con 6.9°C, El Calafate con 8.6°C, Río Gallegos con 9.0°C y Bariloche con 9.6°C.

Los desvíos de la temperatura media con respecto a los valores medios (Figura 25) indican una mayor presencia de anomalías positivas. Estas fueron de +1.7°C en Neuquén y El Bolsón, +1.6°C en Bariloche y Esquel, +1.5°C en Santiago del Estero, San Martín (Mendoza) y Unión (San Luis) y +1.4°C en San Rafael y Maquinchao. En tanto las anomalías negativas no han superado los -1°C y se ubicaron en el noreste del país.

El verano (diciembre de 2024, enero y febrero de 2025) y la primavera (septiembre, octubre y noviembre) se caracterizaron por el predominio de las temperaturas superiores a las normales. El verano presentó las mayores anomalías, siendo el mes de febrero el que tuvo los mayores desvíos. Hubo tres eventos de ola de calor, siendo la de fines de febrero y principios de marzo la de mayor extensión territorial y duración, que afectó a más de 50 localidades y tuvo una duración máxima de 14 días. El otoño (marzo, abril y mayo), estuvo marcado por una mayor presencia de temperaturas próximas a las normales, siendo levemente más cálidas en el NEA. En el invierno (junio, julio y agosto), gran parte del país presentó anomalías dentro del rango normal, entre +/-0.5 °C. La característica principal fue la gran variabilidad subestacional, con fluctuaciones de hasta +/-4 °C en algunos casos entre semanas o décadas (Figura 26).

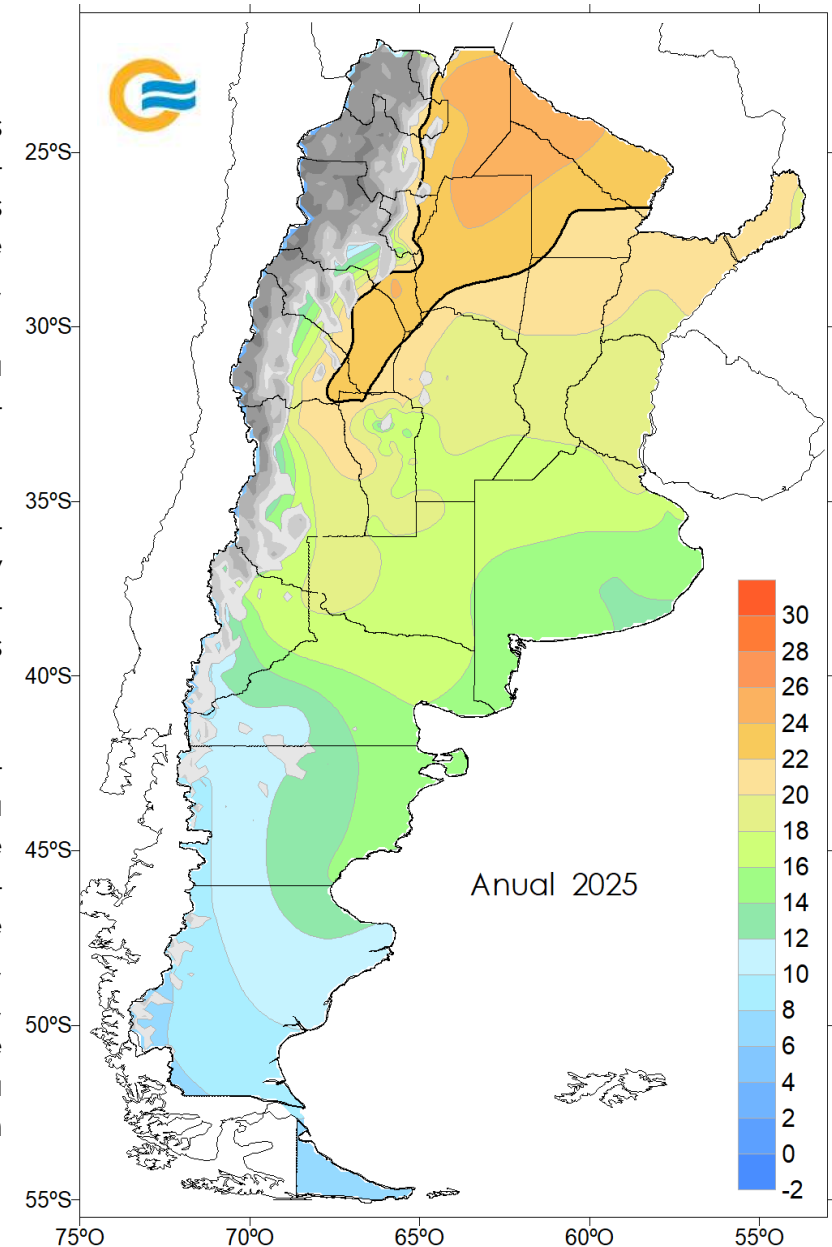


FIG. 24 – Temperatura media (°C)

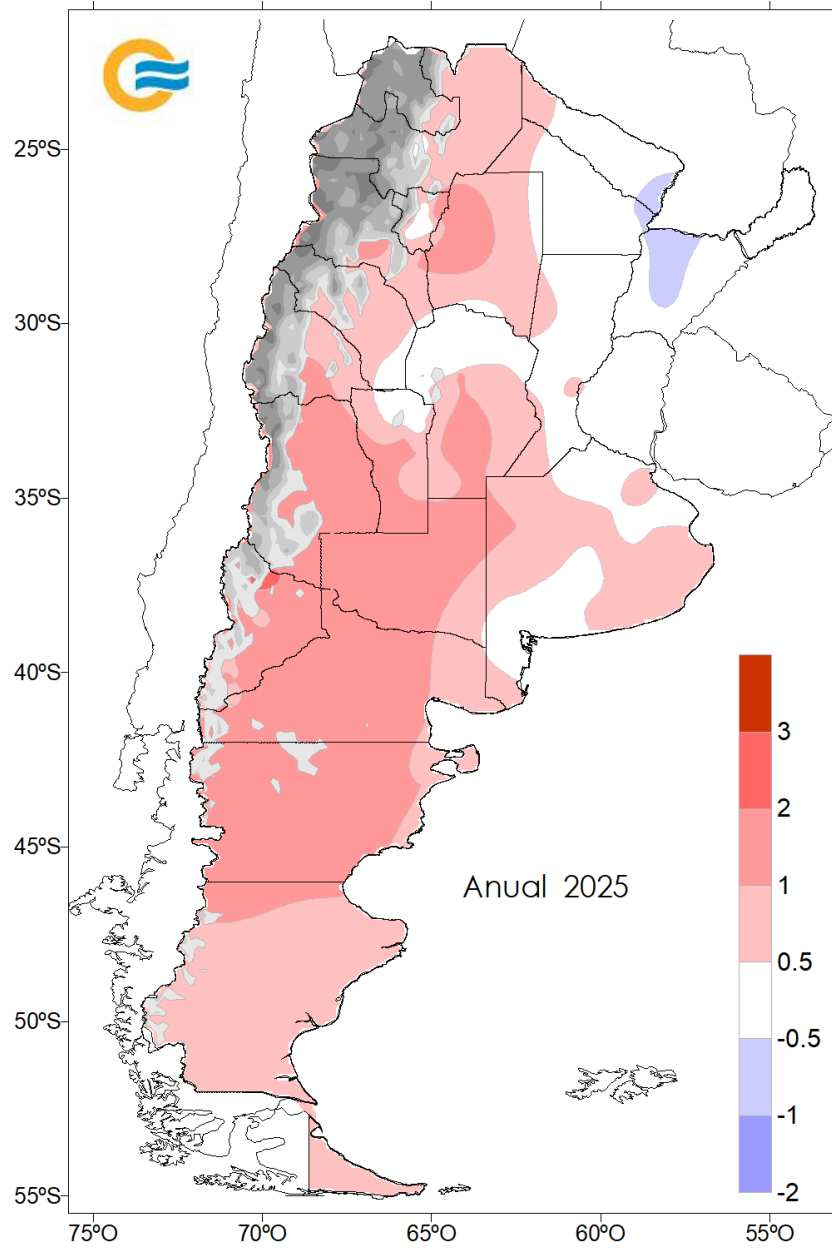


FIG. 25 – Desvíos de la temperatura media con respecto al valor medio 1991-2020 – (°C)

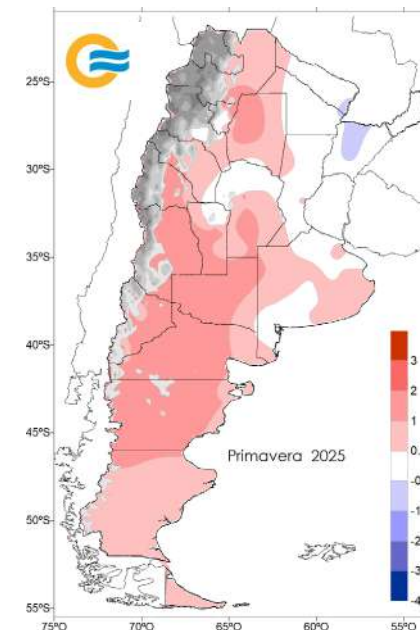
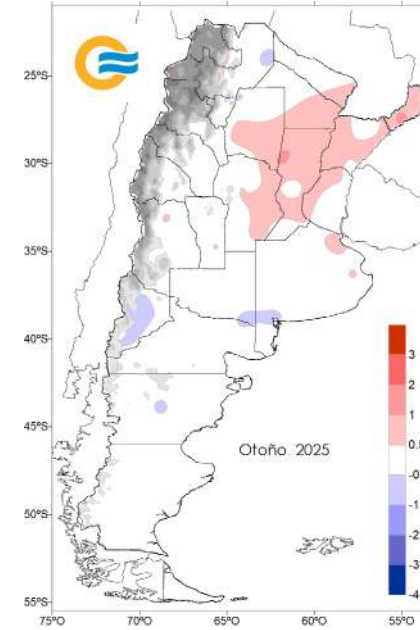
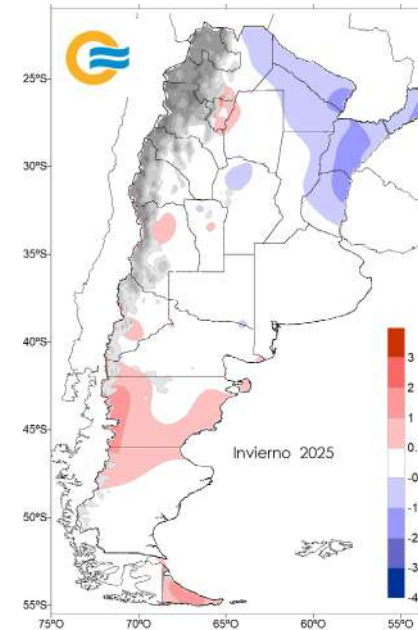
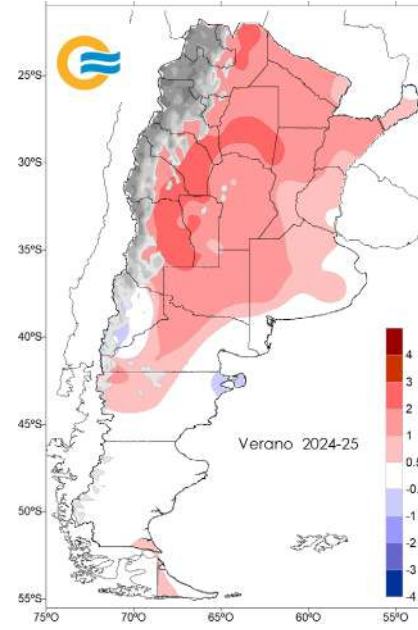


FIG. 26 – Desvíos de la temperatura media de verano, otoño, invierno y primavera de 2025 con respecto al valor medio 1991-2020 – (°C)

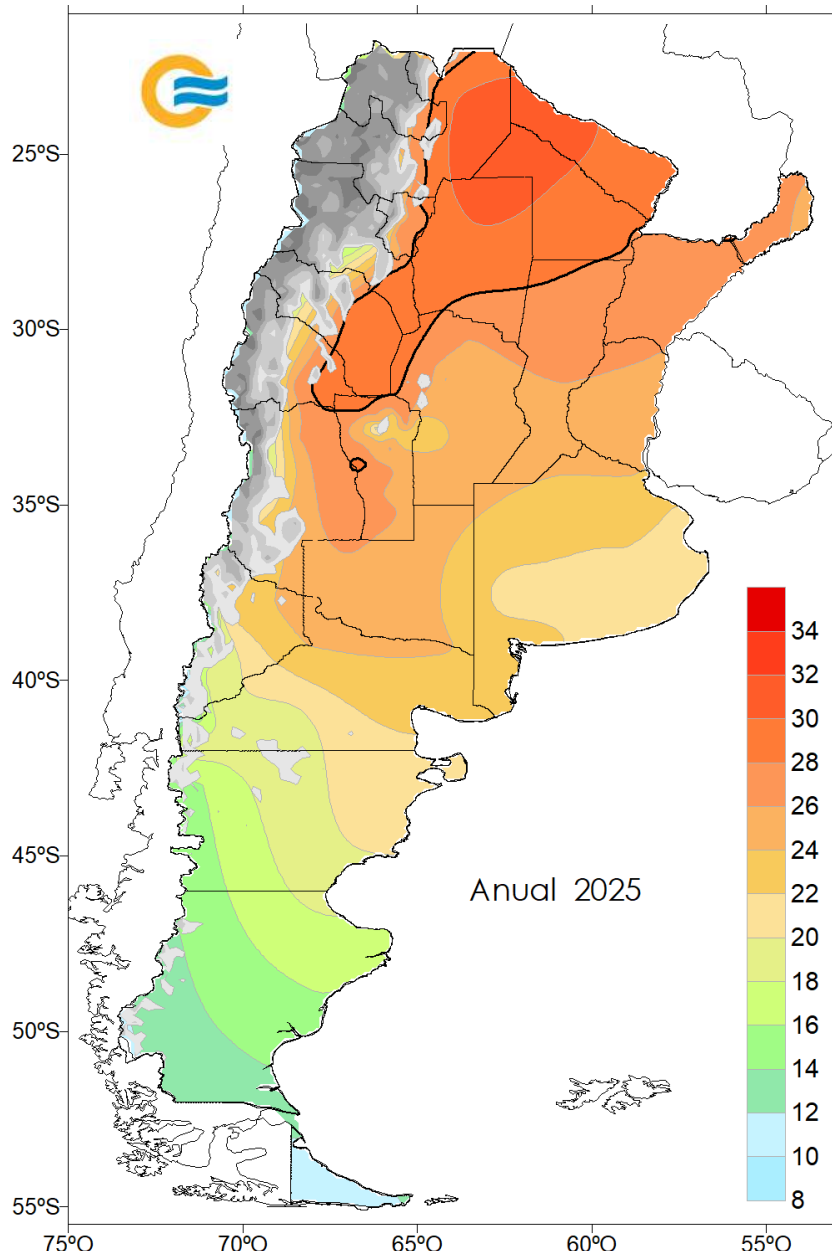


FIG. 27 – Temperatura máxima media (°C)

2.2- Temperatura máxima

La temperatura máxima media fue superior a 28°C (isolínea en negro) en el este y sur del NOA, Formosa, Chaco y sectores aislados en el norte de San Luis, e inferior a 16°C en el sur de la Patagonia.

Entre los mayores valores se mencionan los 31.2°C en Rivadavia, 30.3°C en Las Lomitas, 29.4°C en Santiago del Estero, 29.3°C en Catamarca, 29.0°C en Orán, 28.9°C en La Rioja y 28.8°C en Formosa. Con respecto a los valores mínimos (fuera del área cordillerana) tuvieron lugar en Río Grande con 11.1°C, El Calafate con 13.0°C, Río Gallegos con 13.6°C y Santa Cruz con 14.9°C. (Figura 27)

Las anomalías de temperatura máxima media fueron entre normales y positivas, con valores iguales o superiores a los +1°C en el norte de la Patagonia y sur de Cuyo (Figura 28). Los mayores desvíos correspondieron a Maquinchao con +1.8°C, Neuquén con +1.6°C, Malargüe con +1.5°C, y El Bolsón y Esquel con +1.4°C.

Las temperaturas máximas fueron predominantemente más cálidas tanto en verano como en primavera, con varias localidades registrando valores récord durante los meses estivales. En el otoño, se observaron anomalías mayormente entre +/-0.5°C, salvo en el Litoral donde fueron positivas y en algunos sectores aislados de Patagonia y extremo norte del país que fueron negativas. En el invierno, las temperaturas fueron más frías que las normales en el norte, y más cálidas en la Patagonia (Figura 29).

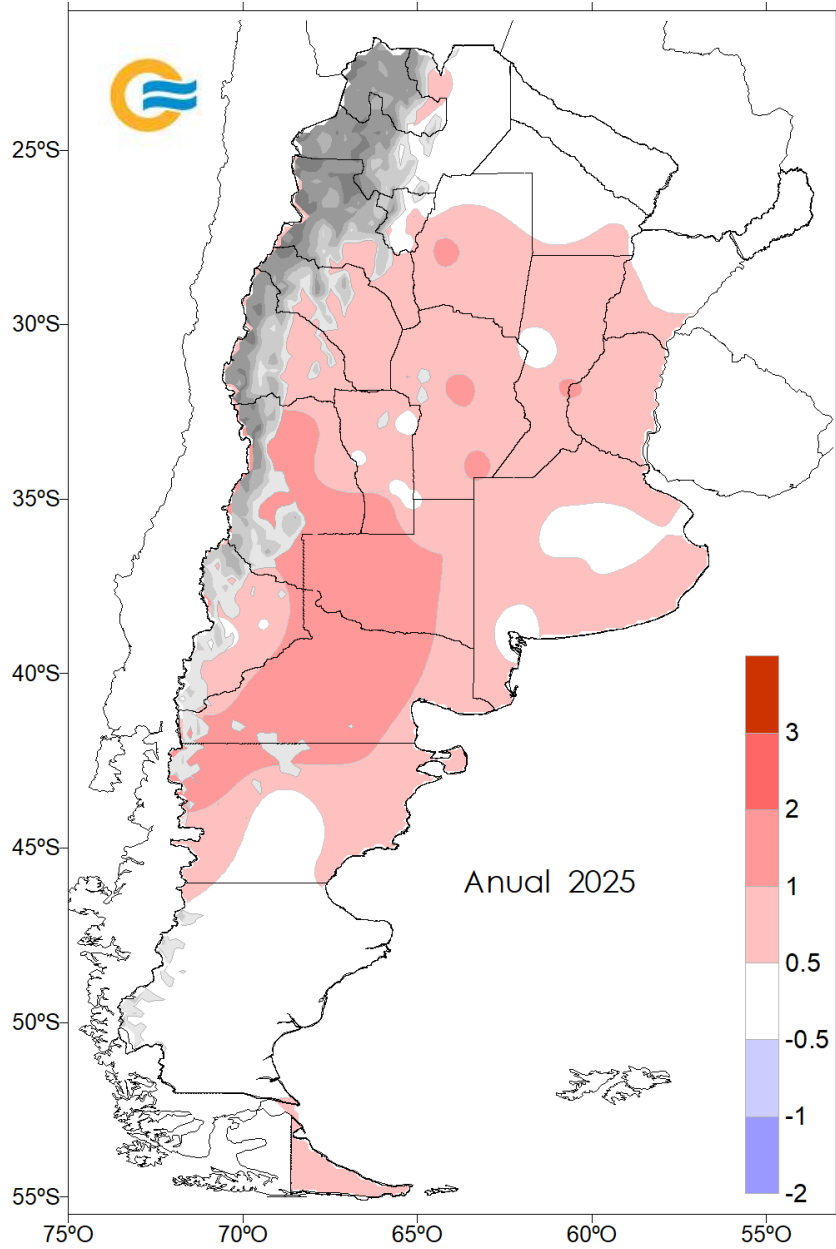


FIG. 28 – Desvíos de la temperatura máxima media con respecto al valor medio 1991-2020 – (°C)

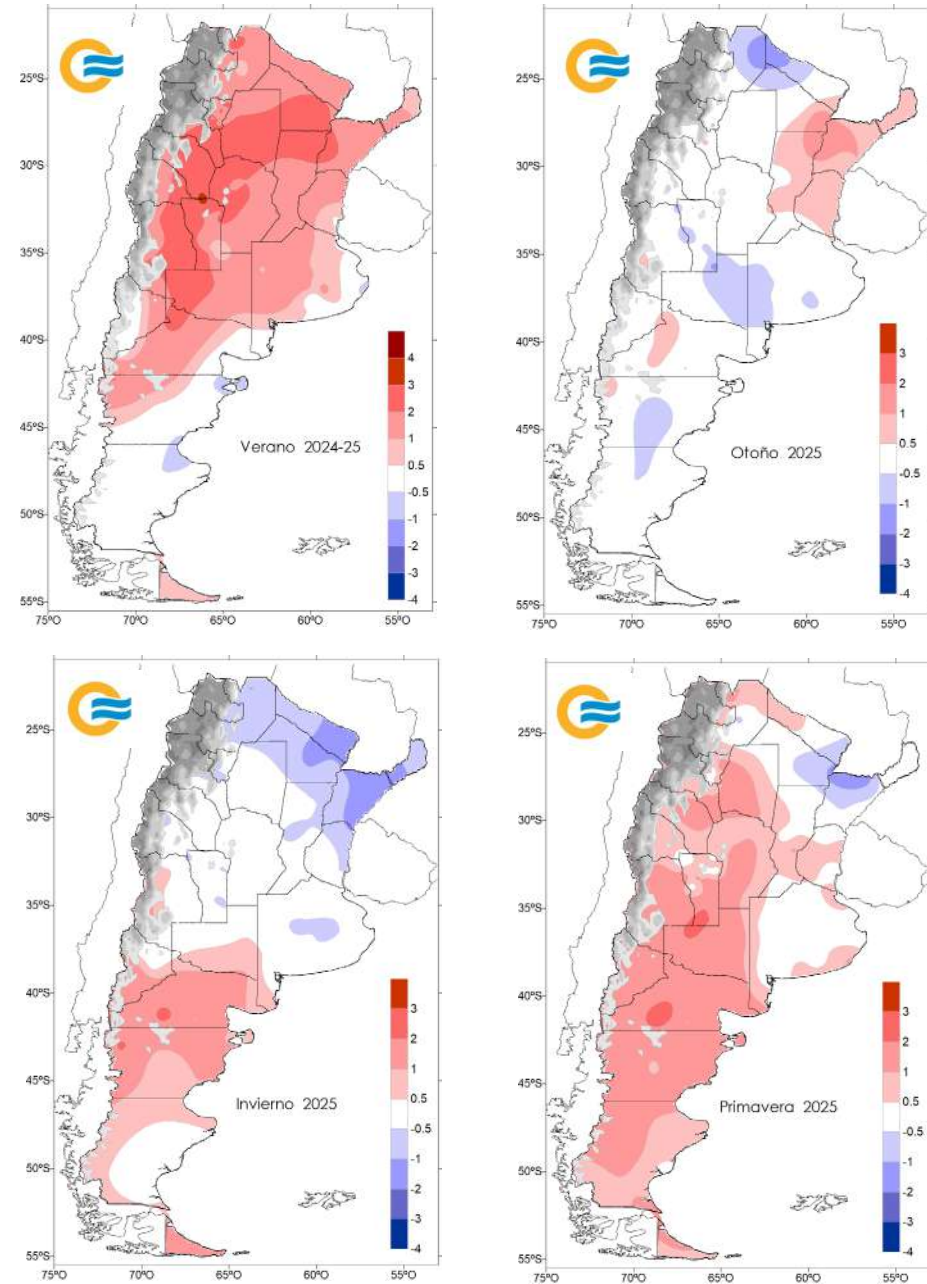


FIG. 29 – Desvíos de la temperatura máxima media de verano, otoño, invierno y primavera de 2025 con respecto al valor medio 1991-2020 – (°C)

2.3 - Temperatura mínima media

La temperatura mínima media (Figura 30) fue inferior a 4°C en el oeste y sur de la Patagonia y oeste de Cuyo y el NOA, en tanto que en el norte del país fueron superiores a 16°C. Los mínimos valores se dieron en El Calafate (1.0°C), Río Grande (2.0°C), Maquinchao (2.4°C), La Quiaca (2.6°C), Río Gallegos (3.1°C), Bariloche (3.5°C), Ushuaia (3.7°C) y Esquel (3.8°C) y los máximos valores en Rivadavia (18.0°C), Las Lomitas (17.9°C), Posadas (17.5°C), Orán (17.4°C) y Formosa y Corrientes (17.2°C).

En el campo de desvíos de la temperatura mínima (Figura 31) al igual que el de las temperaturas medias y máximas se caracterizó por presentar anomalías normales a positivas. Los valores más relevantes correspondieron a Pehuajó y Las Flores con +1.7°C, Mendoza con +1.5°C, San Rafael y Neuquén con +1.2°C, y Córdoba Observatorio, San Martín (Mendoza) y Pigüé con +1.1°C.

En cuanto a las temperaturas mínimas, el verano presentó temperaturas normales a superiores a los valores medios en la mayoría del territorio nacional, al igual que la primavera. En algunas localidades se superaron récords de temperaturas mínimas medias más altas durante los dos trimestres. Durante el otoño, las temperaturas fueron más cálidas al norte de los 35°S, mientras que al sur fueron normales a negativas. El invierno presentó anomalías negativas en el Litoral y anomalías positivas en sectores del centro y sur del territorio, siendo el mes más frío el de junio con desvíos inferiores a los -3°C. El trimestre presentó un evento de ola de frío, ocurriendo entre el 27 de junio y 3 de julio, que afectó a más de 80 localidades entre el 30 de junio y el 1 de julio (Figura 32).

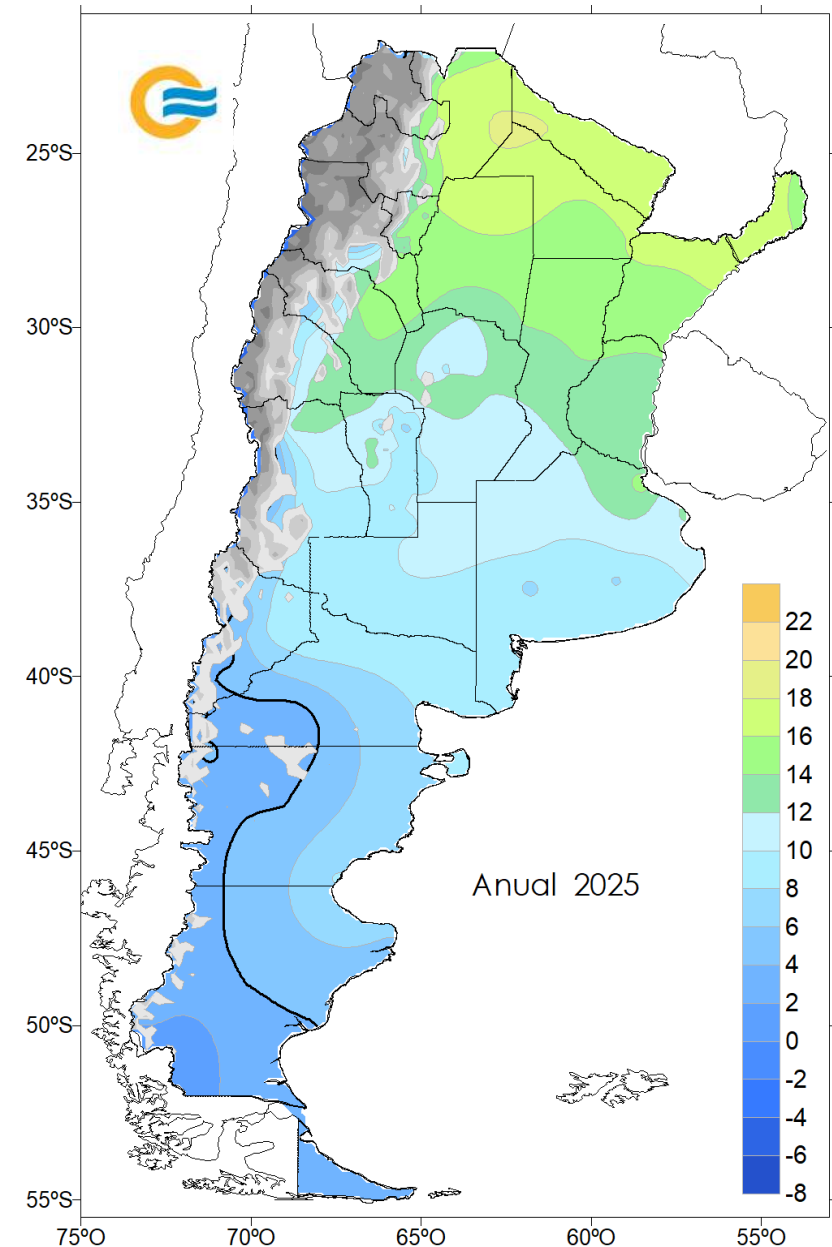


FIG. 30 – Temperatura mínima media (°C)

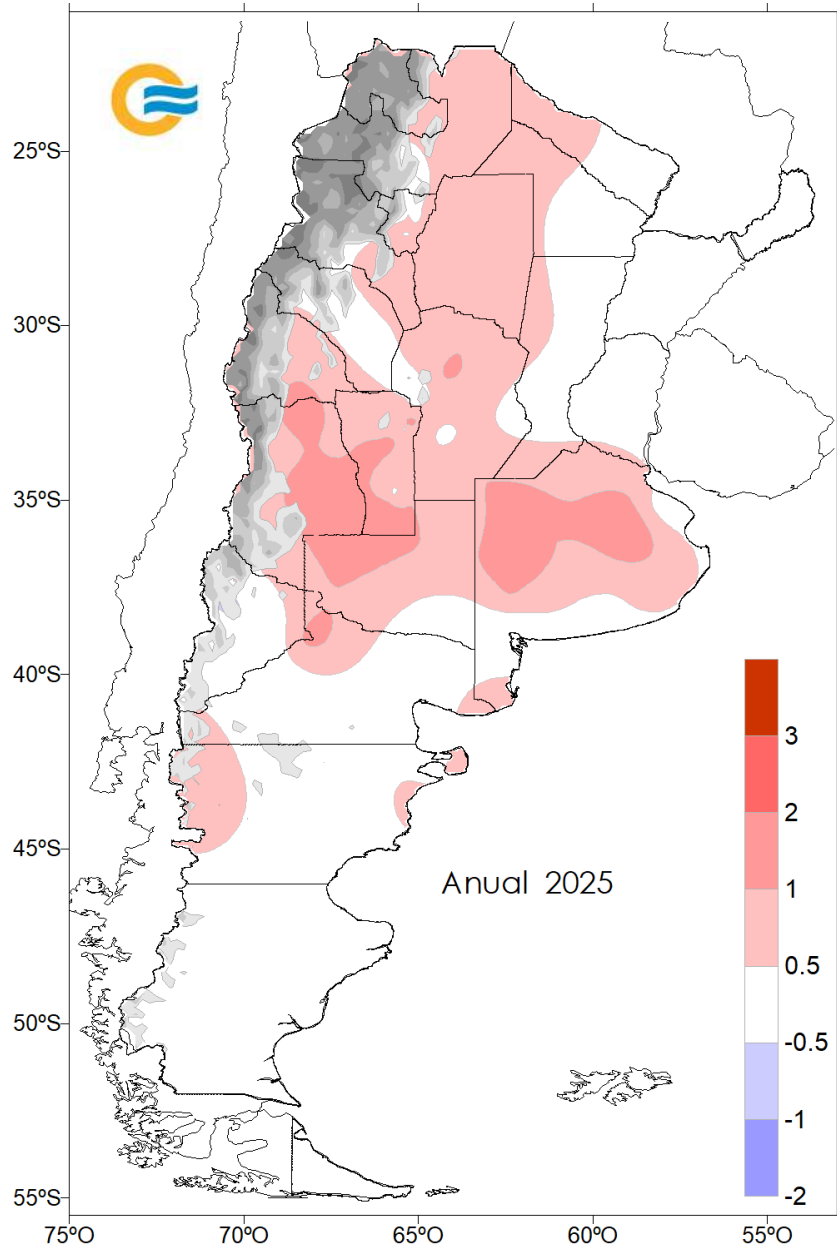


FIG. 31 – Desvíos de la temperatura mínima media con respecto al valor medio 1991-2020 – (°C)

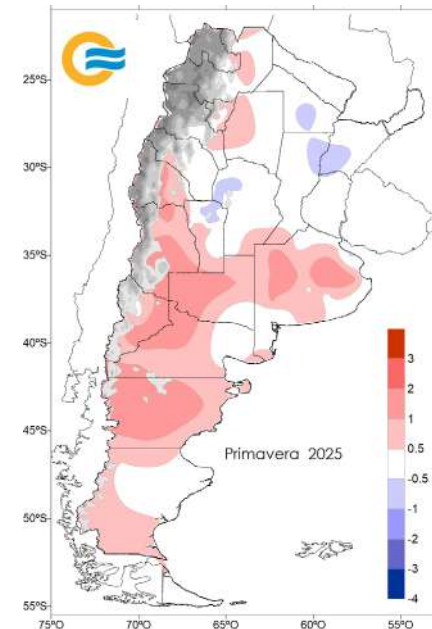
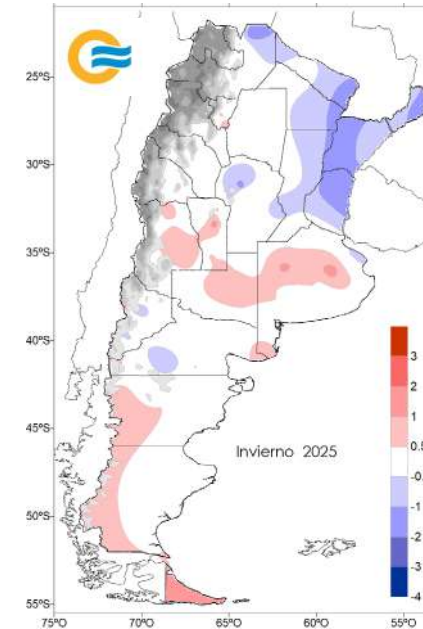
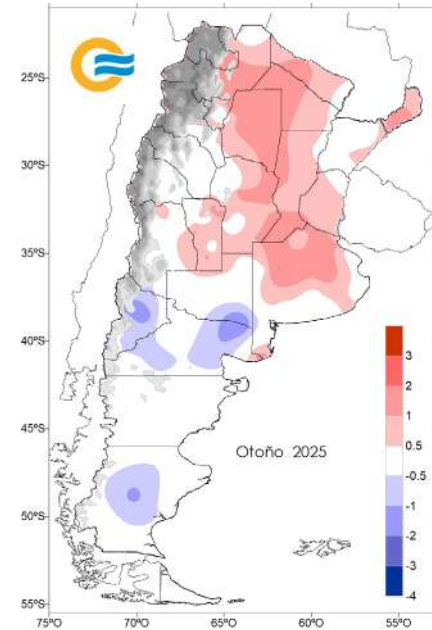
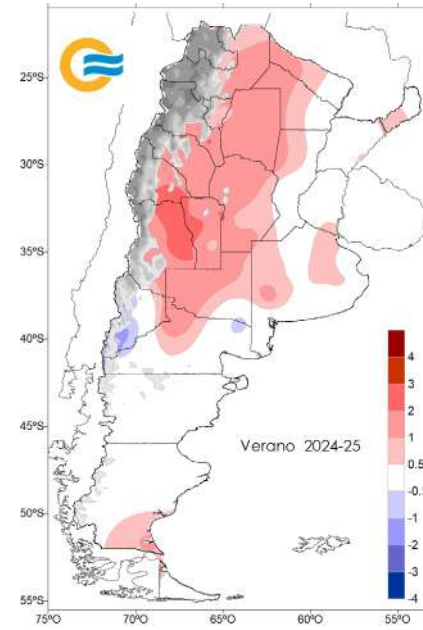


FIG. 32 – Desvíos de la temperatura mínima media de verano, otoño, invierno y primavera de 2025 con respecto al valor medio 1991-2020 – (°C)

2.4- Principales eventos

Ola de calor

Se define ola de calor como un período en el cual las temperaturas máximas y mínimas igualan o superan, por lo menos durante 3 días consecutivos y en forma simultánea, ciertos umbrales que dependen de cada localidad.

Durante el verano 2024-25 se han producido 3 eventos de ola de calor con diferentes periodos de duración, siendo el último evento el de mayor extensión y duración.

-3 al 9 enero

La característica de este evento fue mayormente su corta duración y poca extensión territorial (Figura 33). La máxima duración se dio en Neuquén con 6 días.

Más información en https://www.smn.gob.ar/sites/default/files/informe_oladecolor_31dic2023_10ene2024.pdf

-12 al 19 enero

Este evento se caracterizó por su corta duración. Su máxima duración fue de 5 días en Ezeiza (Figura 33).

Más información en <https://www.smn.gob.ar/sites/default/files/Informe%20%20oladecolor%2013%20a%2019%20Enero%202024.pdf>

-19 de febrero al 8 de marzo

Este evento fue particularmente intenso hacia el norte del país, con temperaturas de más de 40°C. También se caracterizó por su gran extensión territorial y duración, ya que afectó a más de 50 localidades con una máxima duración de 14 días (Figura 33).

La duración de la ola de calor en Resistencia de 14 días superó la duración máxima anterior de 13 días ocurrida del 14 al 26 de enero de 2022.

Más información en https://www.smn.gob.ar/sites/default/files/Oladecolor_19feb_al_8mar_2025.pdf

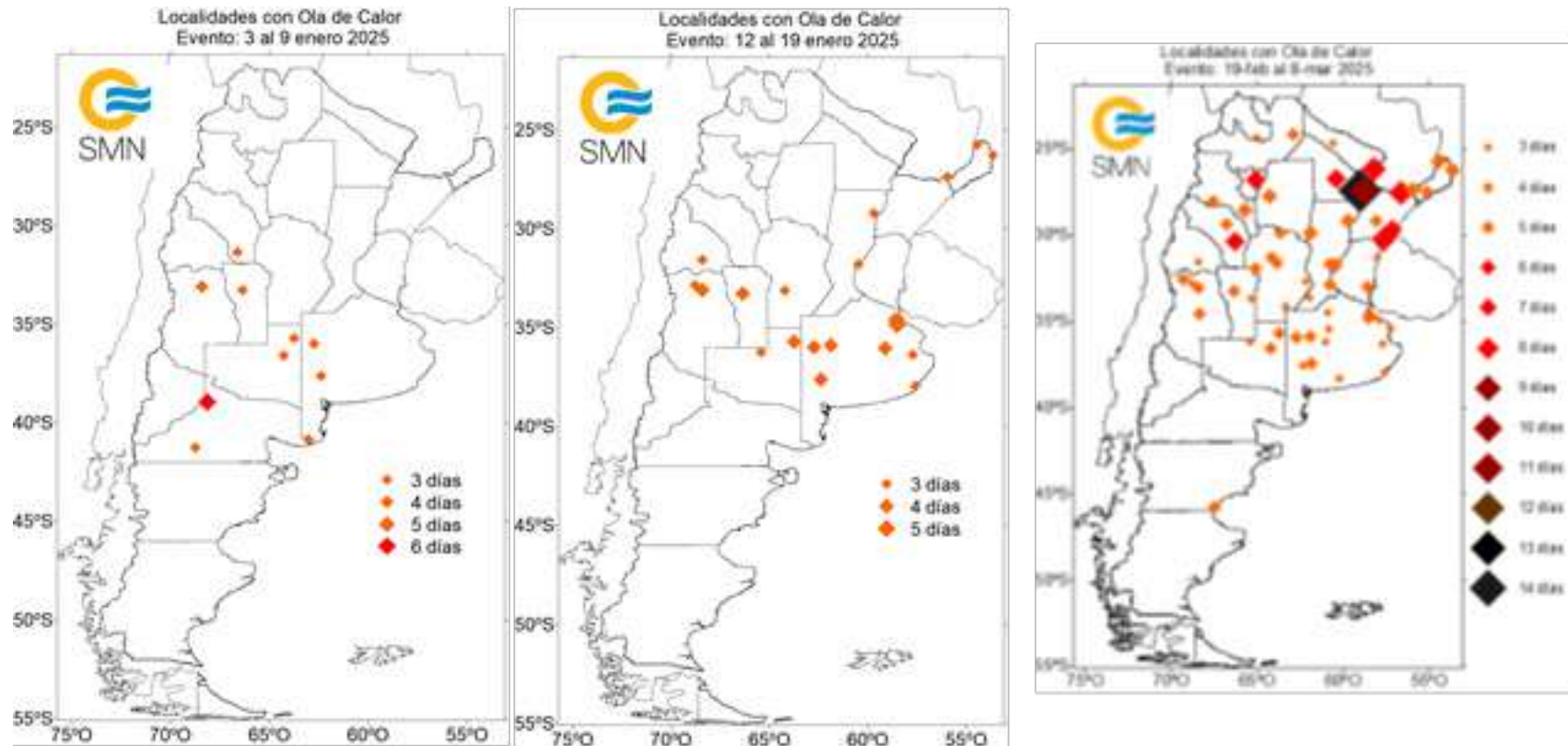


FIG. 33 – Localidades con ocurrencia de Ola de Calor durante los meses del verano 2024-25.

Ola de frío

Un evento de ola de frío se define cuando las temperaturas máximas y mínimas igualan o son inferiores, por lo menos durante 3 días consecutivos y en forma simultánea, ciertos valores que dependen de cada localidad (percentil 10 del semestre frío abril-agosto).

Mayor información (<https://www.smn.gov.ar/estadisticas>)

Durante el invierno solo se presentó un caso del fenómeno de “ola de frío”, siendo al final del mes de junio y principios de julio. El desplazamiento de una masa de aire de origen polar sobre el continente, produjo un marcado descenso térmico acompañado de nevadas en varias provincias. Esta situación dio lugar a que se desarrolle este evento de ola de frío que tuvo la particularidad de alcanzar una gran extensión territorial (65% de las estaciones) (Figura 34). El mayor número de localidades afectadas se encontraron entre el 30 junio y 1 de julio con un promedio de 80.

Más información: https://www.smn.gov.ar/sites/default/files/Informe_Especial_OladeFrio_27jun_al_3jul_2025.pdf

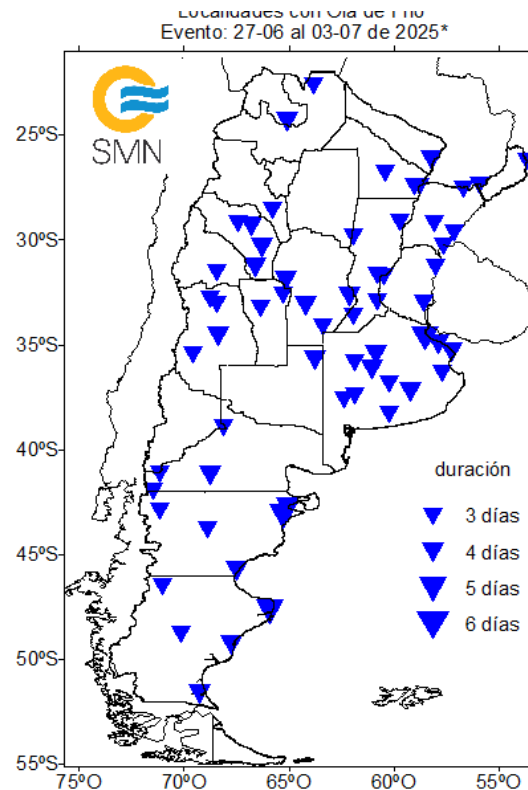


FIG. 34 – Localidades con ocurrencia de Ola de frío durante los meses del invierno 2025.

2.5 - Frecuencia de días con cielo cubierto

La frecuencia anual de días con cielo cubierto fue superior a 80 días en el NOA, el Litoral, Santiago del Estero, Córdoba, noreste de La Pampa, Buenos Aires y Patagonia.

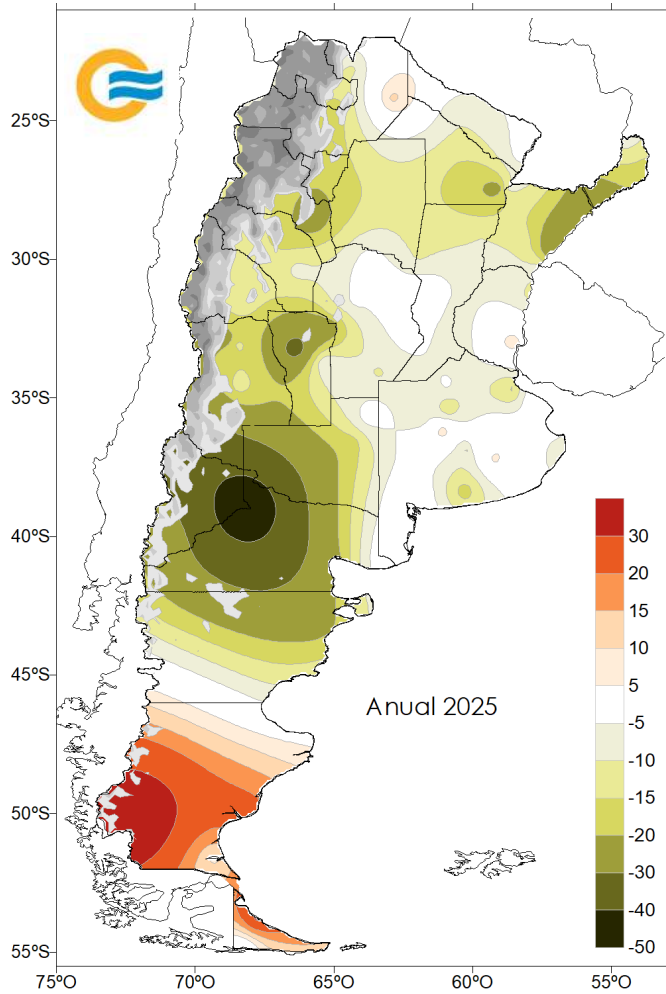
Los niveles máximos se concentraron en puntos específicos, superando los 120 días anuales. Las ciudades con mayor cantidad de días con cielo cubierto fueron Ushuaia con 193 días, Santa Cruz con 189 días y Río Grande con 184 días, le siguieron Oran con 165, Río Gallegos con 163 días, Tartagal y El Calafate con 159 días, Jujuy Universidad y Paso de Indios con 155 días, Salta con 151 días y Bernardo de Irigoyen con 143 días.

En contraste, los valores mínimos se registraron en la región de Cuyo y el norte de la Patagonia, destacándose San Juan con solo 31 días. Le siguen San Martín en Mendoza con 40 días, Malargüe con 41 días y Neuquén con 42 días. (Figura 35).

Al comparar el año 2025 con el promedio histórico (Figura 36), se observó un predominio de anomalías negativas (menos días cubiertos de lo habitual) en gran parte del territorio argentino. Las reducciones más marcadas mostraron -49 días en Neuquén seguido por -35 días en San Luis, -31 días en Malargüe, -28 días en Paso de los Libres y -27 días en Santa Rosa de Conlara.

Mientras que, hubo mayor número de días con cielo cubierto que el promedio en el sur de la Patagonia y este de Salta. Los incrementos más significativos ocurrieron en El Calafate con +45 días, Río Grande con +33 días, Santa Cruz con +23 días, y San Julián con +20 días.

Finalmente, en la Tabla 8 se detallan los registros de este año que establecieron récords históricos, superando los valores mínimos registrados previamente.



Récord de frecuencia de cielo cubierto en 2025			
Localidad	Cielo Cubierto (días)	Récord anterior (días)	Periodo de referencia
Neuquén	42	53 (2020)	1961-2024
San Antonio Oeste	60	70 (1995)	1961-2024

Tabla 8

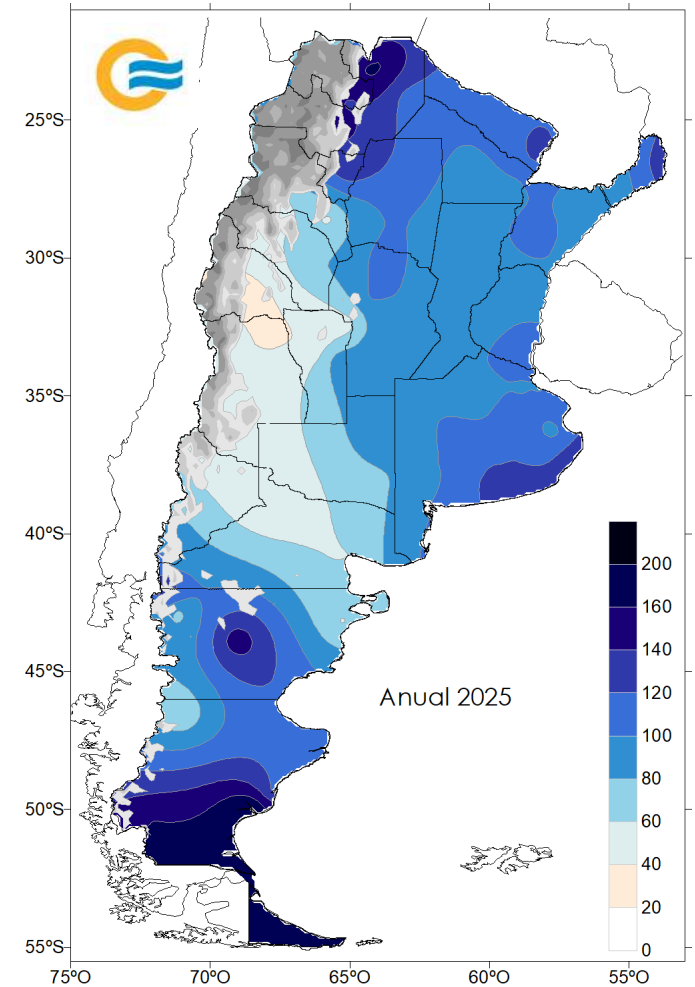


FIG. 35 – Frecuencia de días con cielo cubierto.

FIG. 36 –Desvíos de la frecuencia de días con cielo cubierto con respecto al valor medio 1991-2020 – (°C)

2.6 - Frecuencia de días con helada

Se define como helada meteorológica a todo día en que la temperatura del aire (medida a 1,5 m en abrigo meteorológico) desciende hasta los 0°C o menos. En 2025, hubo más de 60 días con heladas —(Figura 37 isolínea roja) en el oeste del NOA, el oeste y sur de Cuyo y gran parte de la Patagonia.

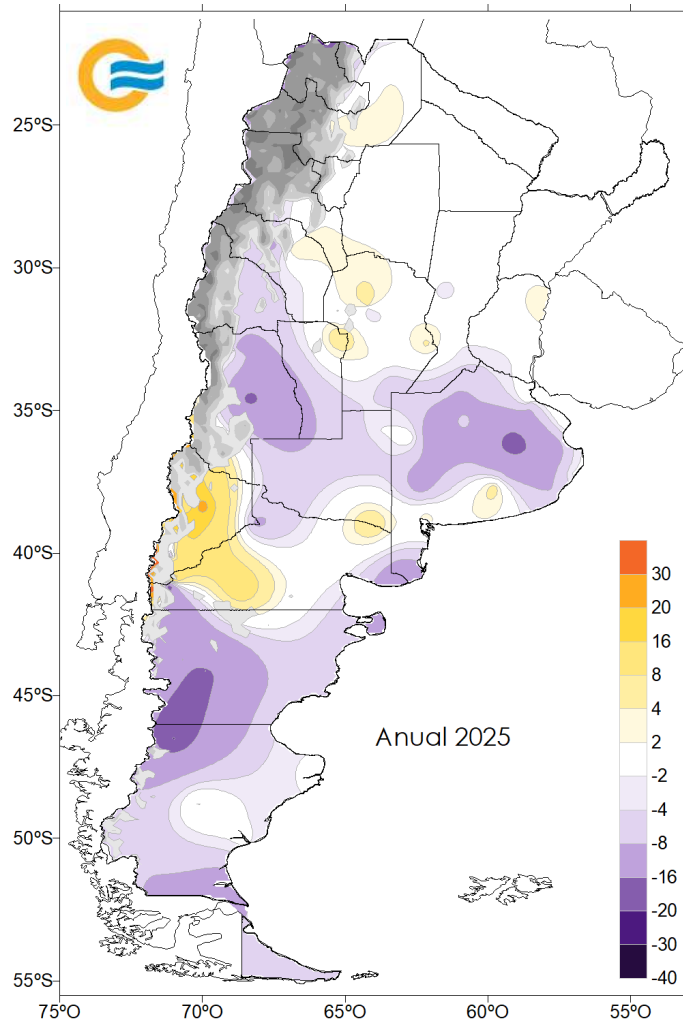


FIG. 38 –Desvíos de la frecuencia de días con helada con respecto al valor medio 1991-2020 – (°C)

Las máximas frecuencias se han dado en el norte de Jujuy (La Quiaca con 118 días), Mendoza (Uspallata 96, Malargüe con 93 días) y Patagonia (El Calafate con 143 días, Maquinchao con 141 días, Río Grande con 122 días, Río Gallegos con 96 días, Esquel y Gobernador Gregores con 94 días, Santa Cruz con 90 días y San Carlos de Bariloche con 86 días).

Los desvíos frente a los promedios históricos mostraron un comportamiento dispar, fueron en general positivos en el centro del país, sur de Salta, sur de Buenos Aires y noroeste de la Patagonia y negativos en oeste del NOA, Cuyo, Buenos Aires, este de La Pampa y centro y sur de la Patagonia (Figura 38). Los mayores desvíos negativos fueron en San Carlos de Bariloche con -24 días, La Quiaca con -21 días, Perito Moreno con -20 días, Las Flores con -19 días y San Rafael con -18 días.

Por otro lado, las anomalías positivas se dieron con +14 días en Maquinchao, +8 días en Santa Rosa de Conlara y Río Colorado, +6 días en Córdoba y Benito Juárez y +5 días en Marcos Juárez.

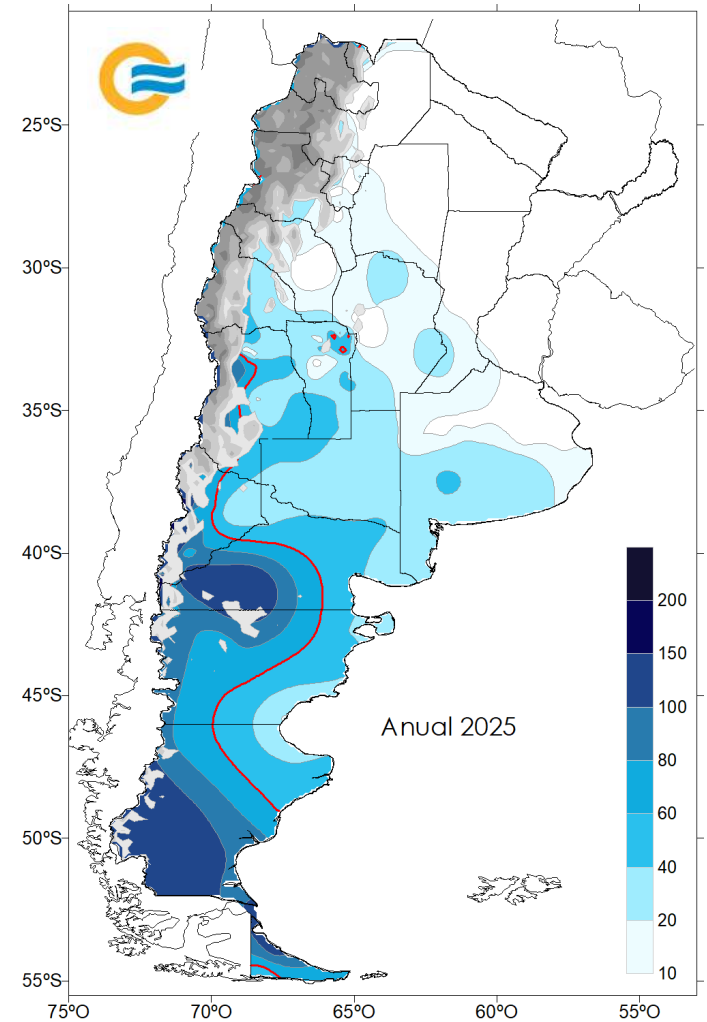


FIG. 37 – Frecuencia de días con helada.

3 - REGIÓN SUBANTÁRTICA Y ANTÁRTICA ADYACENTE

A continuación se presentaran los principales registros del mes en las estaciones correspondientes a las bases antárticas argentinas (Figura 39), acompañadas de sus respectivos graficos y en forma más detallada en una Tabla.

3.1 - Temperatura

El año 2025 se caracterizó por temperaturas más elevadas que las normales en todas las bases antárticas, con desvíos entre +0.8 y +2.8 °C. El mayor desvío positivo se registró en San Martín (Figura 40). A nivel mensual, las anomalías estuvieron dominadas por valores positivos, con algunas excepciones hacia el inicio y el final del año, cuando se registraron desvíos negativos (Figura 41). El mayor desvío positivo correspondió a Marambio, con +9.0 °C en abril, seguido por +7.3 °C en San Martín en junio. En cuanto a las anomalías negativas, alcanzaron -3.9 °C en Marambio y -3.0 °C en Esperanza, ambas en noviembre.



FIG. 39 – Bases antárticas argentinas.

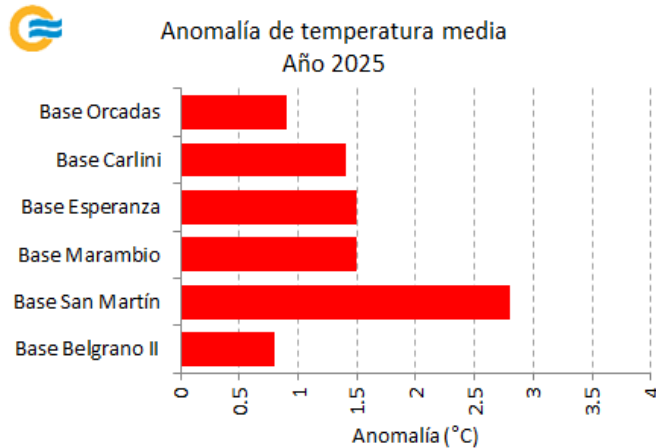


FIG. 40 – Anomalía de la temperaturas media, con respecto al valor medio 1991-2020.

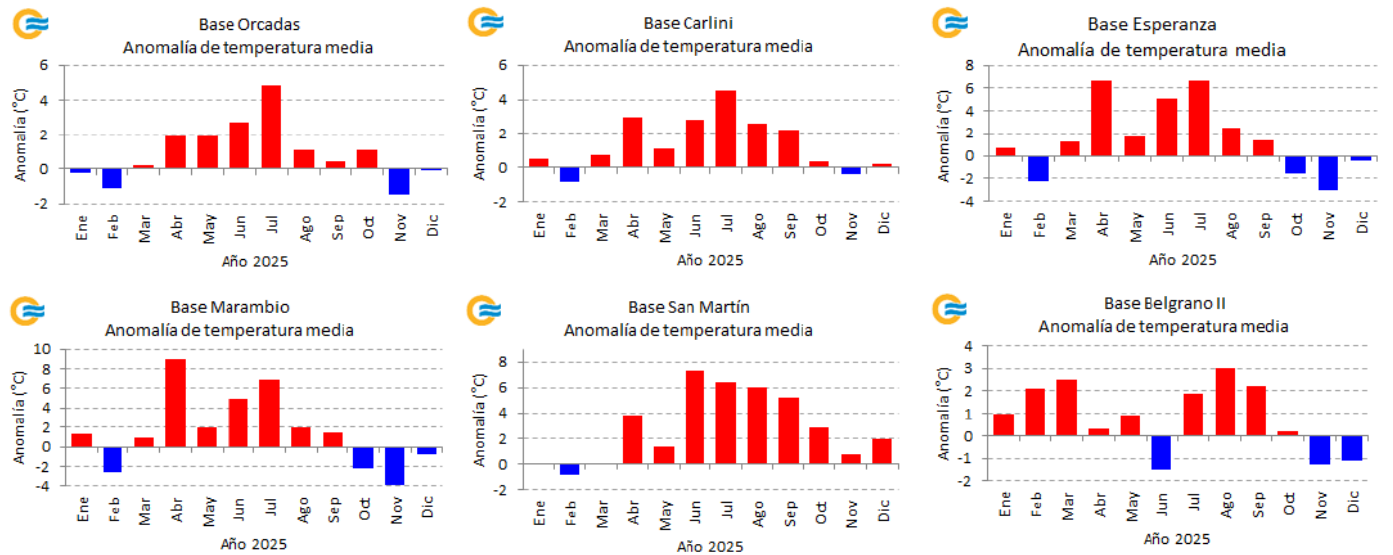


FIG. 41 – Anomalía mensual de la temperaturas media en Orcadas, Carlini, Esperanza, Marambio, San Martín y Belgrano II, con respecto al valor medio 1991-2020.

Estacionalmente, el verano se presentó con anomalías levemente negativas, con la excepción de Belgrano II, donde se dieron valores positivos (Figura 42). Por otro lado, el otoño y el invierno estuvieron dominados por temperaturas superiores a las normales. El invierno fue la estación con los mayores desvíos, alcanzando +6.6 °C en San Martín y +4.8 °C en Esperanza. La primavera presentó anomalías negativas por debajo de los -1°C en Esperanza y Marambio, en tanto que fueron positivas en el resto de las bases, siendo San Martín la que presentó el mayor apartamiento (+2.9°C).

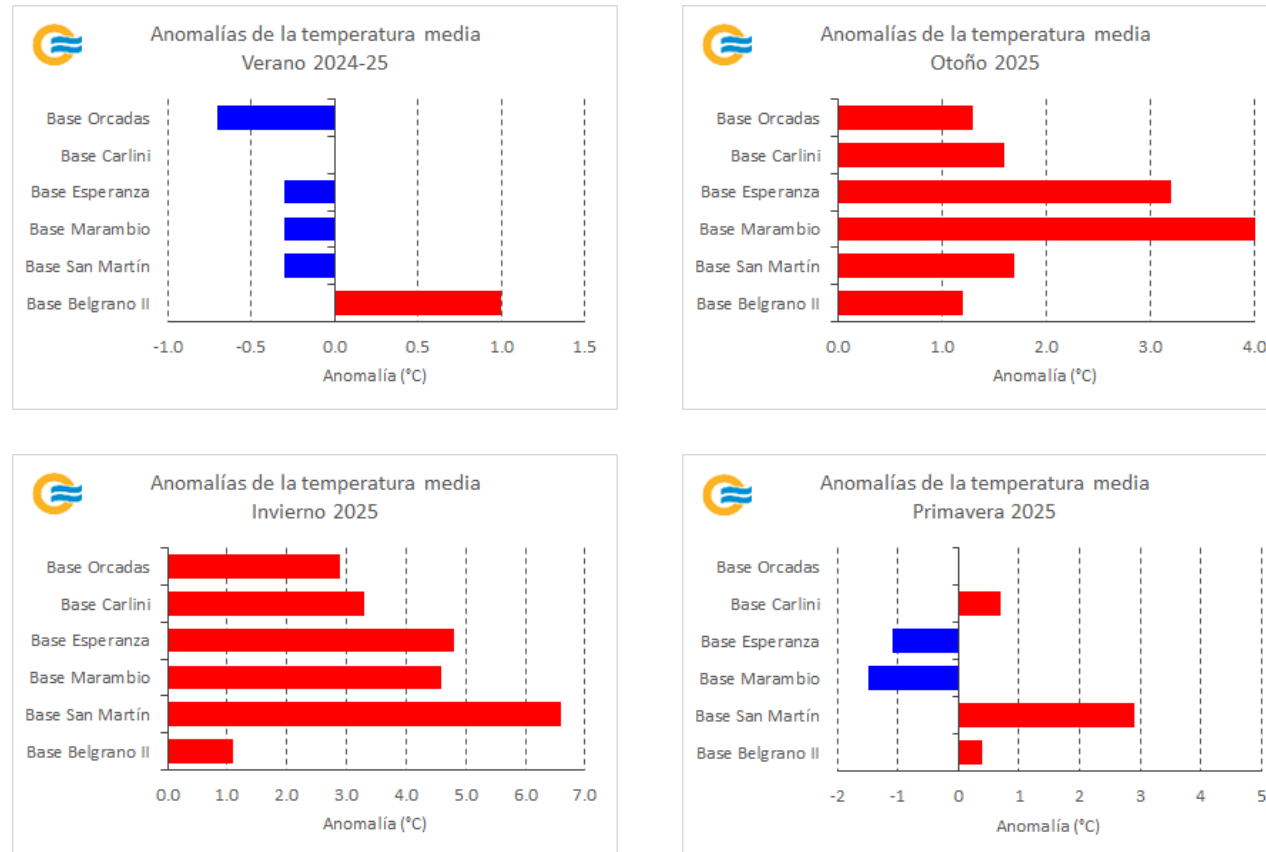


FIG. 42 – Anomalia de la temperaturas media en el verano, otoño, invierno y primavera, con respecto al valor medio 1991-2020.

Un comportamiento similar al de la temperatura media se observó en las temperaturas máximas y mínimas medias (Figura 43). Las mayores anomalías se registraron en la estación San Martín, con +3.6 °C en la mínima y +2.5 °C en la máxima. A nivel anual se destacaron algunos registros que superaron a los máximos anteriores (Tabla 9).

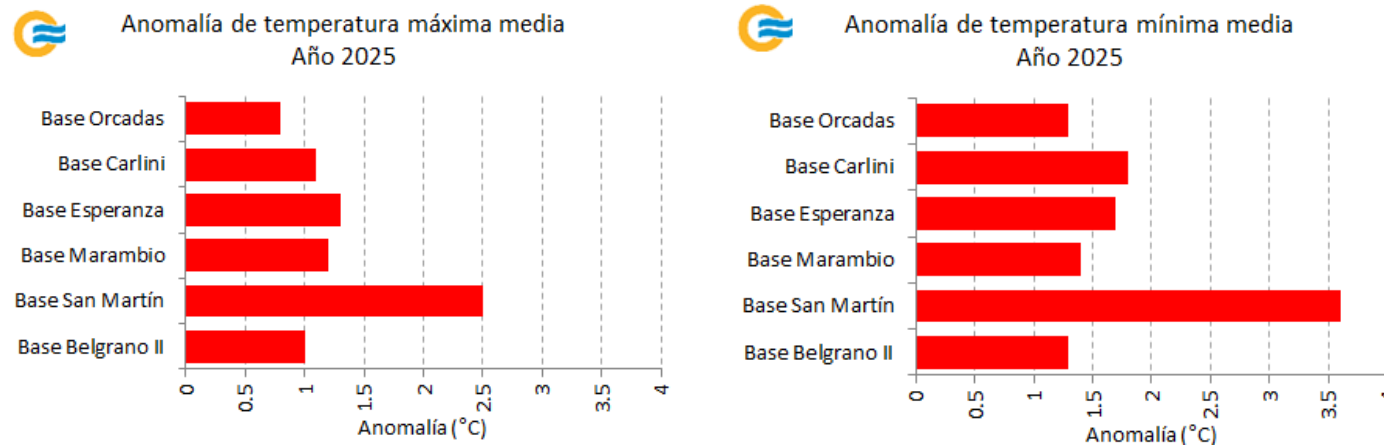


FIG. 43 – Anomalía de la temperaturas máxima y mínima, con respecto al valor medio 1991-2020.

Récord de temperatura del año 2025				
Base	Localidad	Temperatura y Anomalía (°C)	Máximo o mínimo anterior y anomalía (°C)	Periodo de referencia
	Media más alta	-0.3 (+1.4)	-0.5 (+1.2 en 1989)	
Carlini	Máxima media más alta	1.8 (+1.2)	1.7 (+1.1 en 2021 y 2022)	1985-2024
	Mínima media más alta	-2.2 (+1.8)	-2.5 (+1.5 en 1989 y 2016)	
	Media más alta	1.5 (+2.9)	-1.7 (+2.7 en 2022)	
San Martín	Máxima media más alta	1.4 (+2.5)	1.2 (+2.3 en 2022)	1976-2024
	Mínima media más alta	-4.3 (+3.6)	-4.7 (+3.2 en 2022)	

Tabla 9

3.2 - Principales registros de temperatura

Los principales registros en el invierno en las estaciones correspondientes a las bases antárticas argentinas (Figura 39) son detallados en la Tabla 10.

Principales registros de temperatura durante el año 2025							
Bases	Valores medios (anomalía)			Valores absolutos			
	Media (°C)	Máxima (°C)	Mínima (°C)	Máxima (°C)	Máxima más baja (°C)	Mínima (°C)	Mínima más alta (°C)
Orcadas	-2.2 (+0.9)	0.8 (+0.9)	-4.7 (+1.4)	9.0(ene)	-21.2 (sep)	-25.8 (ago)	1.0 (ene y abr)
Carlini	-0.3 (+1.4)	1.8 (+1.2)	-2.2 (+1.8)	8.7 (abr)	-7.1(ago)	-13.2(sep)	3.0 (mar y abr)
Esperanza	-3.0 (+1.6)	0.5 (+1.3)	-6.2 (+1.8)	14.7 (ene)	-16.5 (sep)	-21.6 (jul)	2.3 (ene)
Marambio	-6.4 (+1.6)	-3.1 (+1.3)	-10.0 (+1.4)	14.1 (ene)	-22.9 (sep)	-27.7 (ago)	3.7 (ene)
San Martín	-1.5 (+2.9)	1.4 (+2.5)	-4.3 (+3.6)	8.7 (ene)	-13.3 (jul)	-21.2 (ago)	3.5 (sep)
Belgrano II	-12.4 (+0.8)	-8.7 (+1.0)	-16.0 (+1.3)	5.7 (nov)	-27.8 (may)	-36.1 (jun)	-2.3 (ene)

Tabla 10- Las anomalías son respecto al periodo 1991-2020.

Abreviaturas y unidades

CLIMAT: informe de valores medios y totales mensuales provenientes de una estación terrestre.

SYNOP: informe de una observación de superficie proveniente de una estación terrestre.

SMN: Servicio Meteorológico Nacional.

HOA: hora oficial argentina.

UTC: tiempo universal coordinado.

NOA: región del noroeste argentino.

IPE: índice de precipitación estandarizado.

°C: grado Celsius.

m: metro.

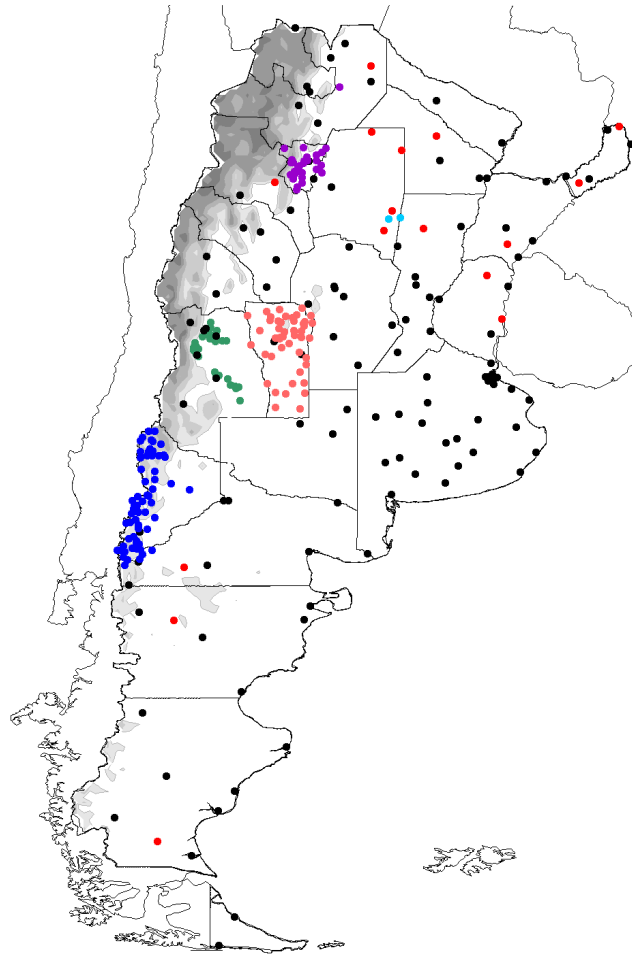
mm: milímetro.

ULP: Universidad de la Punta

DACC: Dirección de Agricultura y Contingencias Climáticas del Ministerio de Economía de Mendoza

EEAOC: Estación Experimental Agroindustrial Obispo Colombes de Ministerio de Desarrollo Productivo del Gobierno de Tucumán

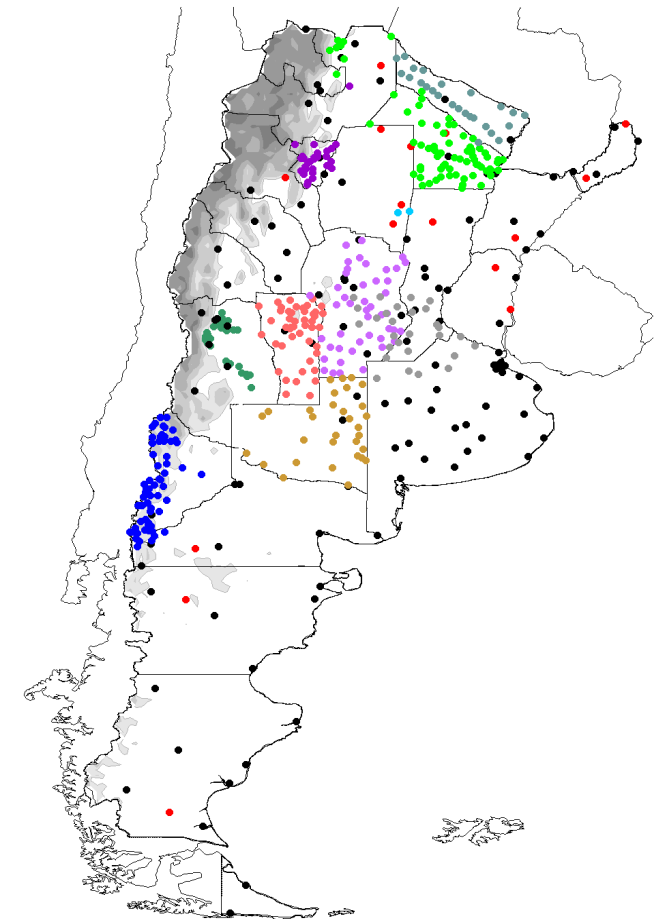
COREBE: Comisión Regional del Río Bermejo



Estaciones consideradas en el mapa de temperatura

- Servicio Meteorológico Nacional
- Tucumán (EEAOC)
- San Luis (ULP)
- Mendoza (DACC)
- INTA
- Comahue
- Particular

Red de estaciones



Estaciones consideradas en el mapa de precipitación

- Servicio Meteorológico Nacional
- Tucumán (EEAOC)
- San Luis (ULP)
- Mendoza (DACC)
- INTA
- Comahue
- Particular
- COREBE
- Formosa (Policía)
- La Pampa (Policía)
- Bolsa de cereales de Córdoba
- Bolsa de cereales de Rosario